

Raytracing

```
typedef struct{double x,y,z}vec;vec U,black,amb={.02,.02,.02};struct sphere{ vec
cen,color;double rad,kd,ks,kt,kl,ir}*s,*best,sph[]={0.,6.,.5,1.,1.,1.,.9,
.05,.2,.85,0.,1.7,-1.,8.,-.5,1.,.5,.2,1.,.7,.3,0.,.05,1.2,1.,8.,-.5,1.,.8,.8,
1.,.3,.7,0.,0.,1.2,3.,-6.,15.,1.,.8,1.,.7,.0,0.,0.,.6,1.5,-3.,-3.,12.,.8,1.,
1.,5.,0.,0.,0.,.5,1.5,};yx;double u,b,tmin,sqrt(),tan();double vdot(A,B)vec A
,B;{return A.x*B.x+A.y*B.y+A.z*B.z;}vec vcomb(a,A,B)double a;vec A,B;{B.x+=a*
A.x;B.y+=a*A.y;B.z+=a*A.z;return B;}vec vunit(A)vec A;{return vcomb(1./sqrt(
vdot(A,A)),A,black);}struct sphere*intersect(P,D)vec P,D;{best=0;tmin=1e30;s=
sph+5;while(s-->sph)b=vdot(D,U=vcomb(-1.,P,s->cen)),u=b*b-vdot(U,U)+s->rad*s-
>rad,u=u>0?sqrt(u):1e31,u=b-u>1e-7?b-u:b+u,tmin=u>1e-7&&u<tmin?best=s,u:
tmin;return best;}vec trace(level,P,D)vec P,D;{double d,eta,e;vec N,color; struct
sphere*s,*l;if(!level--)return black;if(s=intersect(P,D));else return
amb;color=amb;eta=s->ir;d= -vdot(D,N=vcomb(-1.,P=vcomb(tmin,D,P),s->cen
))) ;if(d<0)N=vcomb(-1.,N,black),eta=1/eta,d= -d;l=sph+5;while(l-->sph)if((e=1-
>kl*vdot(N,U=vunit(vcomb(-1.,P,l->cen))))>0&&intersect(P,U)==l)color=vcomb(e,1-
>color,color);U=s->color;color.x*=U.x;color.y*=U.y;color.z*=U.z;e=1-eta* eta*(1-
d*d);return vcomb(s->kt,e>0?trace(level,P,vcomb(eta,D,vcomb(eta*d-sqrt
(e),N,black))) :black,vcomb(s->ks,trace(level,P,vcomb(2*d,N,D)),vcomb(s->kd,
color,vcomb(s->kl,U,black)))));}main(){printf("%d %d\n",32,32);while(yx<32*32)
U.x=yx%32-32/2,U.z=32/2-yx++/32,U.y=32/2/tan(25/114.5915590261),U=vcomb(255.,
trace(3,black,vunit(U)),black),printf("%.0f %.0f %.0f\n",U);}/*minray!*/
```

© Paul Heckbert



Inhalt

- ◆ Rekursives Raytracing
- ◆ Strahlverfolgung
 - ◆ Primärstrahlen (Supersampling)
 - ◆ Sekundärstrahlen (Epsilonproblematik)
 - ◆ Schattenstrahlen (Transparenzproblematik)
 - ◆ weiche Schatten
- ◆ Strahlschnitte
 - ◆ Ebene
 - ◆ Kugel
 - ◆ Achsenparallele Box
 - ◆ Dreieck
- ◆ Beschleunigungsdatenstrukturen
 - ◆ Gitter
 - ◆ KD-Baum
 - ◆ Hüllvolumen

Recursive Raytracing

Äußere Schleife des Algorithmus:

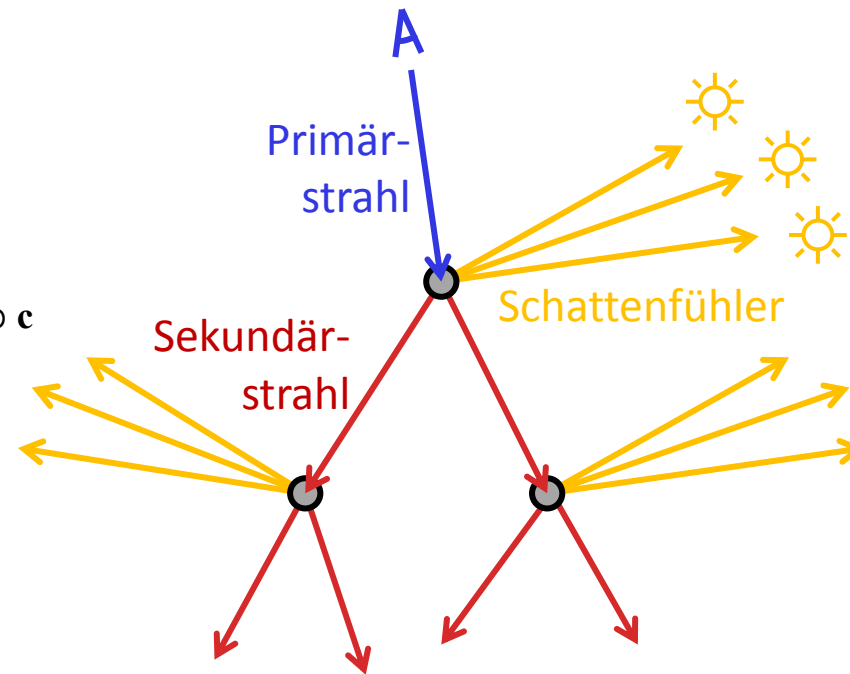
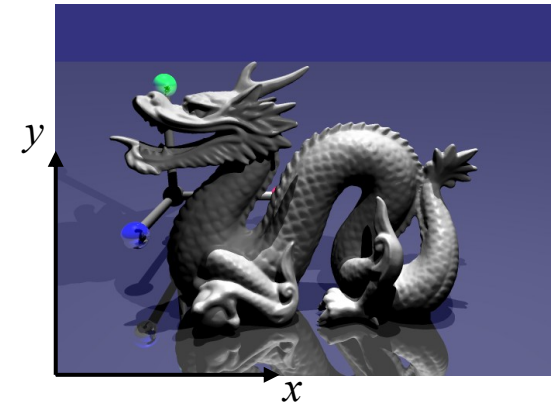
```

for each pixel  $(x,y)$  of camera do
    generate a primary ray  $R = (\underline{p}, \nu)$ 
    set image pixel to color of incoming light:
         $I[x,y] = \text{trace}(R)$ 
    
```

Rekursive Berechnung der Pixelfarbe:

```

 $\text{trace}(R = (\underline{p}, \nu))$ 
    determine first intersection  $\underline{q}$  of  $R$  and scene
    if no intersection exists
        return background color
    set resulting color  $\mathbf{c}$  to black
    for each light source at  $\underline{l}$  do
        if scene intersects segment  $(\underline{q}, \underline{l})$  continue
        add light from  $\underline{l}$  reflected at  $\underline{q}$  in direction of  $-\nu$  to  $\mathbf{c}$ 
    if surface at  $\underline{q}$  has [partial] mirror reflection
        generate reflected secondary ray  $R_{\text{refl}}$ 
        contribute  $\text{trace}(R_{\text{refl}})$  to  $\mathbf{c}$ 
    if surface at  $\underline{q}$  has [partial] transmission
        generate transmitted secondary ray  $R_{\text{trans}}$ 
        contribute  $\text{trace}(R_{\text{trans}})$  to  $\mathbf{c}$ 
    return  $\mathbf{c}$ 
    
```

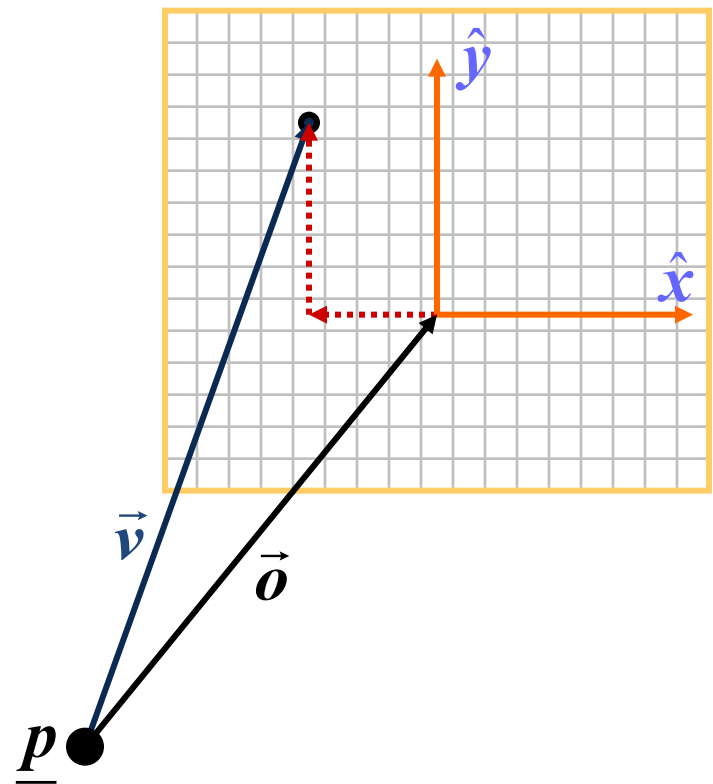


- ◆ Inkrementelle Berechnung der Strahlen von Ausgangspunkt durch Pixel der virtuellen Kamera:

```
for (x= 0; x < xres; x++)  
  for (y= 0; y < yres; y++)  
  {  
     $\mathbf{v} = \mathbf{o} + 2(x/xres - 0.5) \cdot \mathbf{x}$   
           $+ 2(y/yres - 0.5) \cdot \mathbf{y};$   
     $\mathbf{v} = \mathbf{v}/|\mathbf{v}|;$  // Normalize  
    col= trace( $\underline{\mathbf{p}}$ ,  $\mathbf{v}$ );  
    write_pixel(x,y,col);  
  }
```

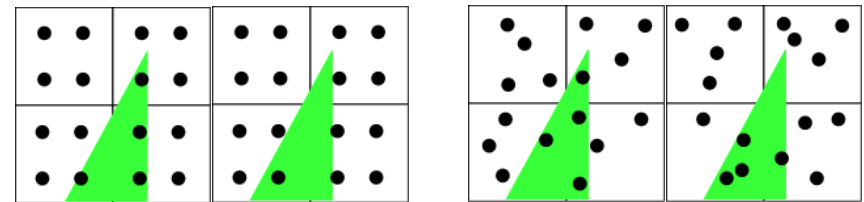
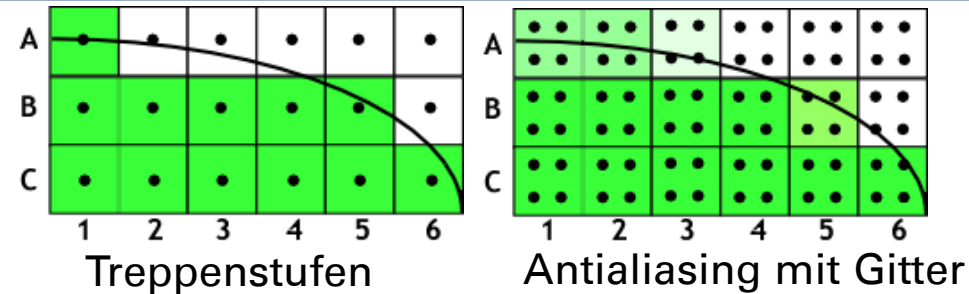
parametrisierter Strahl:

$$\underline{\mathbf{x}}(t) = \underline{\mathbf{p}} + t\vec{\mathbf{v}}$$

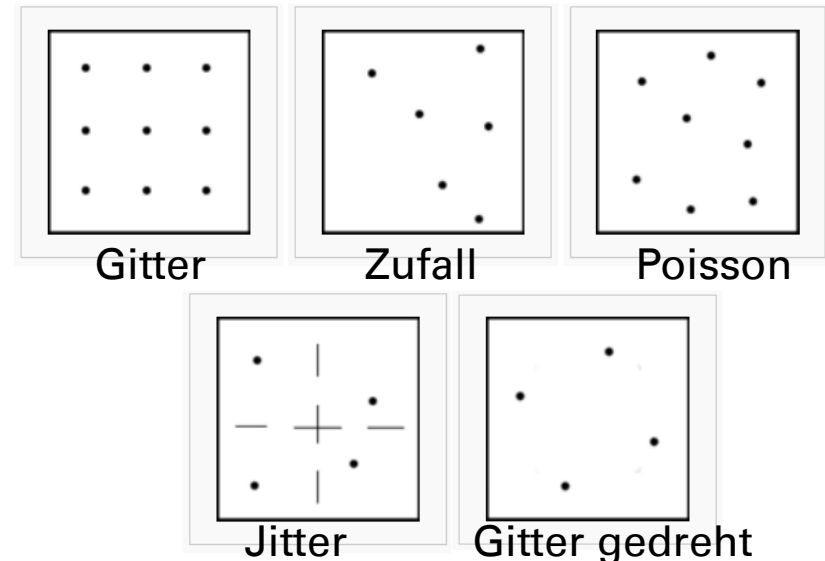


Primärstrahlen Supersampling

- Um Treppenstufenartefakte an Kanten und Schatten zu vermeiden, bietet sich der Einsatz von Supersampling an
- Im einfachsten Fall wird das Bild mit einer höheren Auflösung berechnet und danach die Auflösung mit einem Filter reduziert
- Meist wird aber pro Pixel ein Supersampling durchgeführt:
 - Gitter ... regelmäßig
 - Zufall ... ganz zufällig – neigt zur Verklumpung
 - Poisson ... zufällig ohne Verklumpung
 - Jitter ... zufällig pro Gitterzelle



@www.andymeneely.com/prog/raytracer/supersampling/index.htm

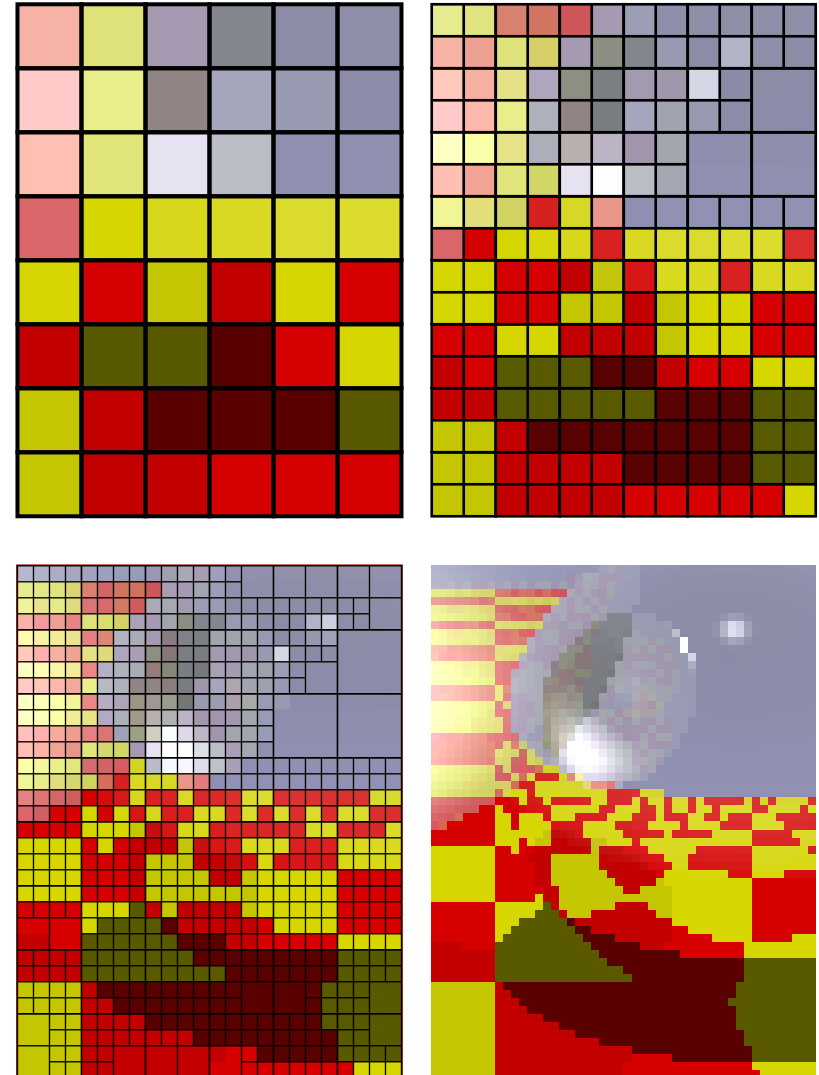


Primärstrahlen

Adaptives Sampling



- Idee: generiere Bild in grober Auflösung und verfeinere nur in den Bereichen, in denen sich der Farbwert stark ändert
- Betrachte dazu quadratische Zellen und generiere Strahlen durch die Eckpunkte der Zellen nicht durch die Mittelpunkte
- unterteile rekursiv alle Zellen in 4 gleich große Zellen, deren Farbwerte an den Eckpunkten deutlich unterschiedlich sind
- Zu beachten ist, dass die Anfangsauflösung fein genug sein muss.



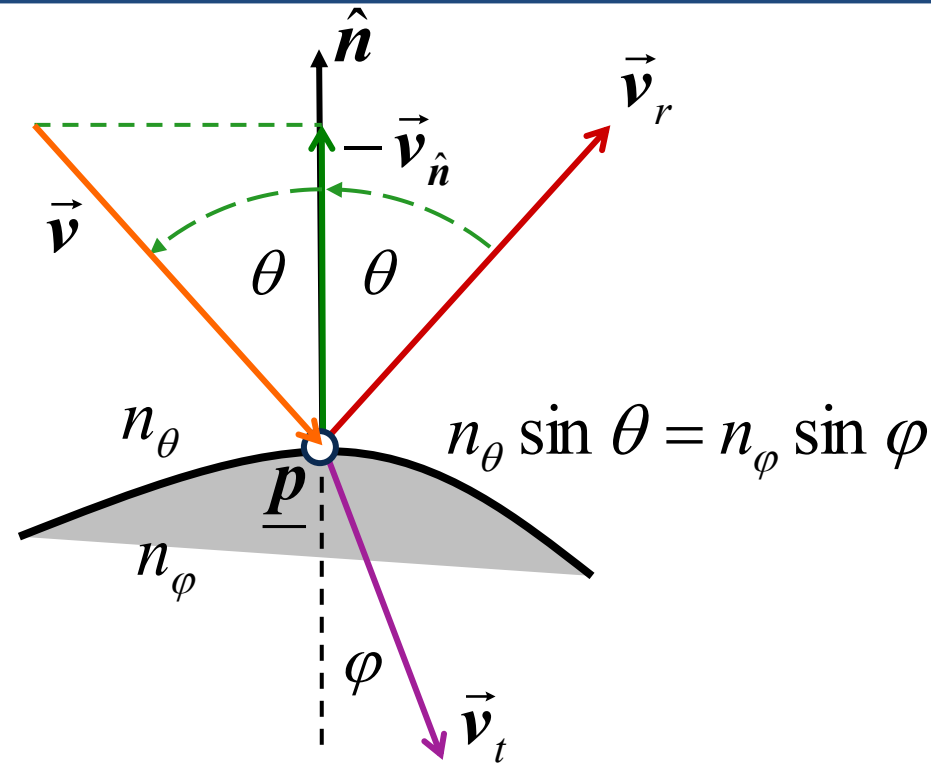
Strahlverfolgung

Sekundärstrahlen



- Trifft ein Strahl auf eine Oberfläche, so ergibt sich der Oberflächenpunkt \underline{p} aus dem Strahl-Flächenschnitt.
- Zusätzlich erhält man die Oberflächennormale \mathbf{n}
- Sekundärstrahlen werden erzeugt wenn das Material spiegelnd oder transparent ist.
- Die Sekundärstrahlen beginnen beide bei \underline{p} und haben die zu berechnenden Richtungen \mathbf{v}_r und \mathbf{v}_t
- Zur Berechnung von \mathbf{v}_t werden zusätzlich die Brechungsindizes benötigt. Die Herleitung der Formel basiert auf der Identität:

$$\sin^2 \theta + \cos^2 \theta = 1$$



Berechnung der Sekundärstrahlen

$$\mathbf{v}_r = \mathbf{v} - 2\langle \hat{\mathbf{n}}, \mathbf{v} \rangle \hat{\mathbf{n}}$$

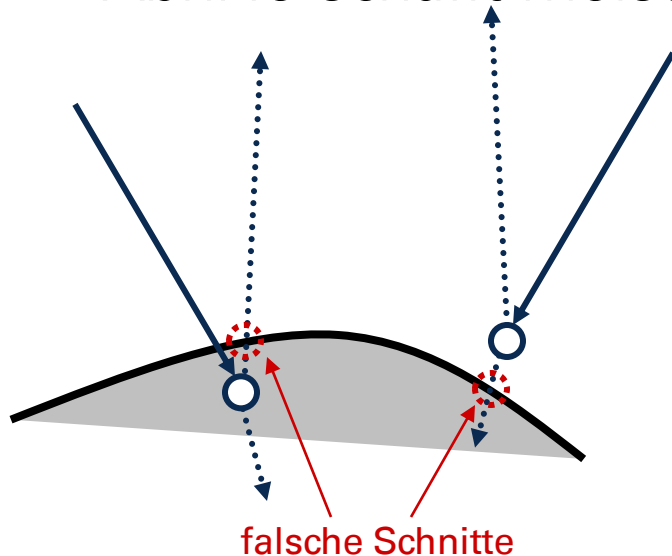
$$\mathbf{v}_t = \frac{n_\theta}{n_\phi} \mathbf{v} - \left(\frac{n_\theta}{n_\phi} \langle \hat{\mathbf{n}}, \mathbf{v} \rangle + \sqrt{1 - \left(\frac{n_\theta}{n_\phi} \right)^2 (1 - \langle \hat{\mathbf{n}}, \mathbf{v} \rangle^2)} \right) \hat{\mathbf{n}}$$

Sekundärstrahlen

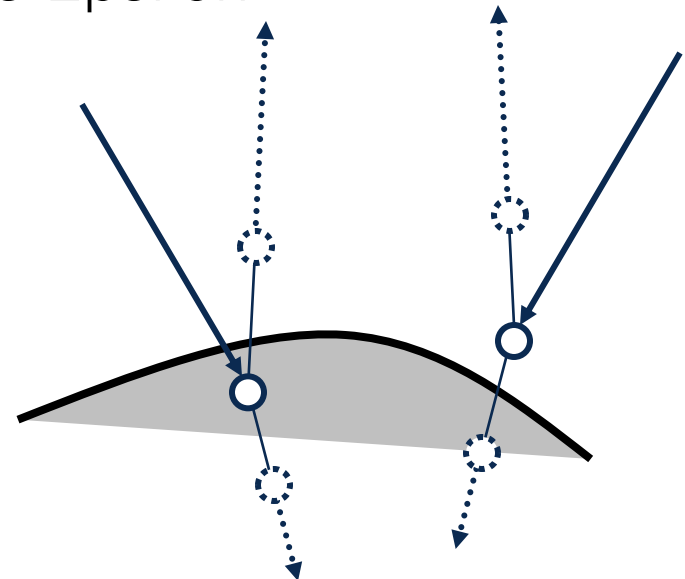
Numerische Ungenauigkeiten



- Beim Verfolgen von Sekundärstrahl ausgehend von Schnitten mit Oberflächen, kann es durch numerische Ungenauigkeiten zu erneutem Schnitt mit derselben Oberfläche kommen.
- Abhilfe schafft meist ein globales Epsilon

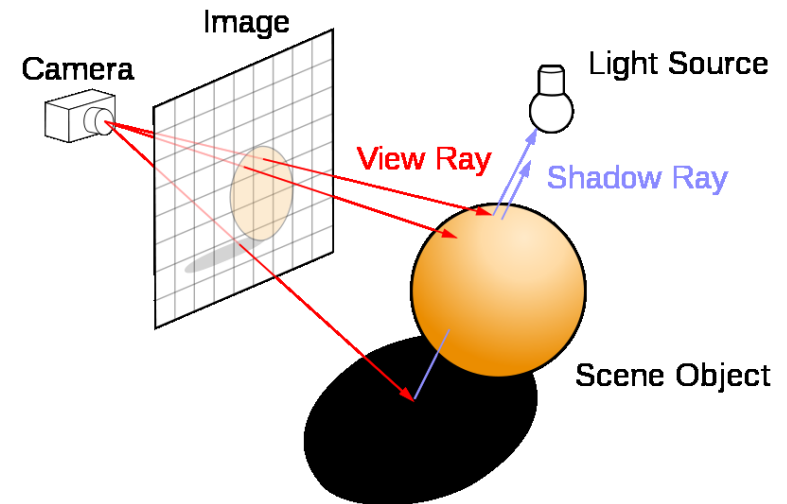


Problem: numerische
Ungenauigkeiten



Abhilfe: richtungsabhängiges
Offset im Sekundärstrahl

- Bei jedem Schnitt \underline{p} mit einer Oberfläche wird zu jeder Lichtquelle \underline{l}_i ein Schattenstrahl geschickt und geprüft, ob ein anderes Objekt zwischen aktuell betrachtetem Oberflächenpunkt und Lichtquelle ist.
- Hierzu wird nur ein beliebiger Schnitt benötigt, nicht unbedingt der erste. Deshalb werden meist zwei Schnittfunktionen implementiert:
 - `find_first_intersection($\underline{p}, \underline{v}$)` ... erster Schnitt vor \underline{p} in Richtung \underline{v}
 - `is_blocked($\underline{p}, \underline{q}$)` ... Test, ob zwischen \underline{p} & \underline{q} irgendein Objekt liegt



Schattenfühler – geblockt und
ungeblockt

Strahlverfolgung

Berechnung der Leuchtdichte

- Typischerweise werden die Materialparameter um einen skalaren Reflexions-, einen skalaren Refraktionskoeffizienten und einen Brechungsindex erweitert:

- r_a ... ambierter Reflektionsfarbkoeffizient
- r_d ... diffuser Reflektionsfarbkoeffizient
- r_s ... spekularer Reflektionsfarbkoeffizient
- s ... shininess
- r_r ... Prozentsatz des ideal spiegelnden Lichts
- r_t ... Prozentsatz des refraktierten Lichts
- n ... Brechungsindex
- n_{scene} ... Brechungsindex der Szene
- n_{ray} ... Brechungsindex des Strahls

$$\ddot{L}_{\text{out}}(\underline{p}, -\vec{v}) =$$

$$\left(\ddot{L}_{\text{scene},a} + \sum_{i=1}^m \ddot{L}_{i,a} \right) \otimes \ddot{r}_a +$$

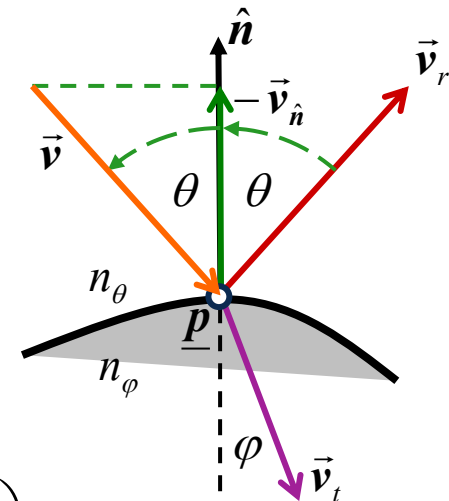
$$r_r \cdot \ddot{L}_{\text{in}}(\underline{p}, \vec{v}_r) + r_t \cdot \ddot{L}_{\text{in}}(\underline{p}, \vec{v}_t, n, n_{\text{ray}}) +$$

Sekundärstrahlen

$$\sum_{i=1}^m V(\underline{p}, \underline{l}_i) \ddot{L}_{\text{refl},d\&s}(\ddot{L}_{i,d\&s}, \ddot{r}_{d\&s}, s)$$

↑
Visibilität

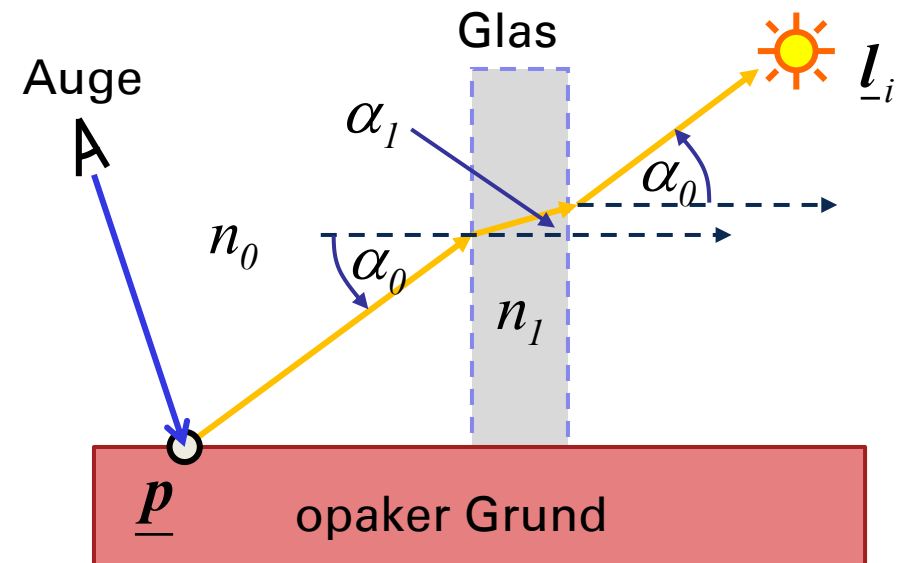
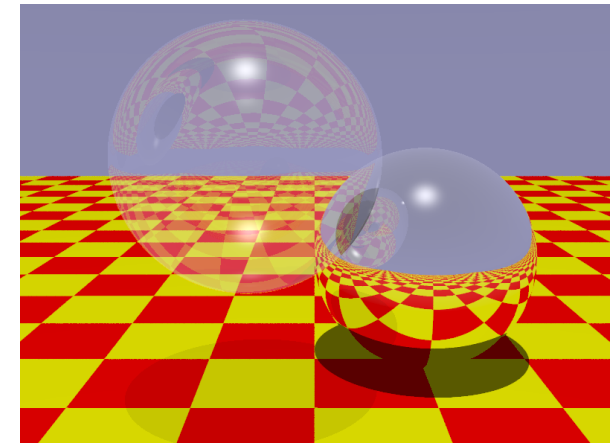
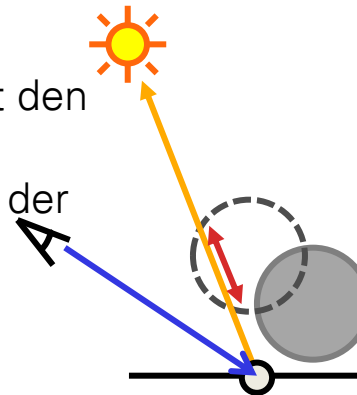
↑
Lokales Beleuchtungsmodell



Strahlverfolgung

Schatten & Transparenz

- Der Visibilitätsfaktor ist 0 oder 1 je nachdem, ob der Schattenfühler geblockt wird oder nicht
- Blockiert ein transparentes Objekt den Schattenfühler, so kann man auch einen Visibilitätsfaktor berechnen, der angibt wie viel Prozent des Lichts durch das transparente Objekt hindurchkommt.
- Dazu wird die Länge des Durchganges durch das transparente Objekt mit einem vom Objekt abhängigen Absorptionsfaktor multipliziert. Zusätzlich wird zweimal der Transmissionskoeffizient multipliziert.
- Das ist allerdings nur eine Approximation, weil der Schattenfühler an der Oberfläche des transparenten Objekts zwei mal gebrochen wird. Die Brechung ist zu kompliziert um berücksichtigt zu werden



Strahlverfolgung Komplexität

◆ Kenngrößen

- ◆ w, h ... Breite und Höhe des Ausgabebildes in Pixel
- ◆ s ... supersampling Faktor
- ◆ n ... Anzahl der Objekte in der Szene
- ◆ m ... Anzahl der Lichtquellen
- ◆ d ... maximale Rekursionstiefe

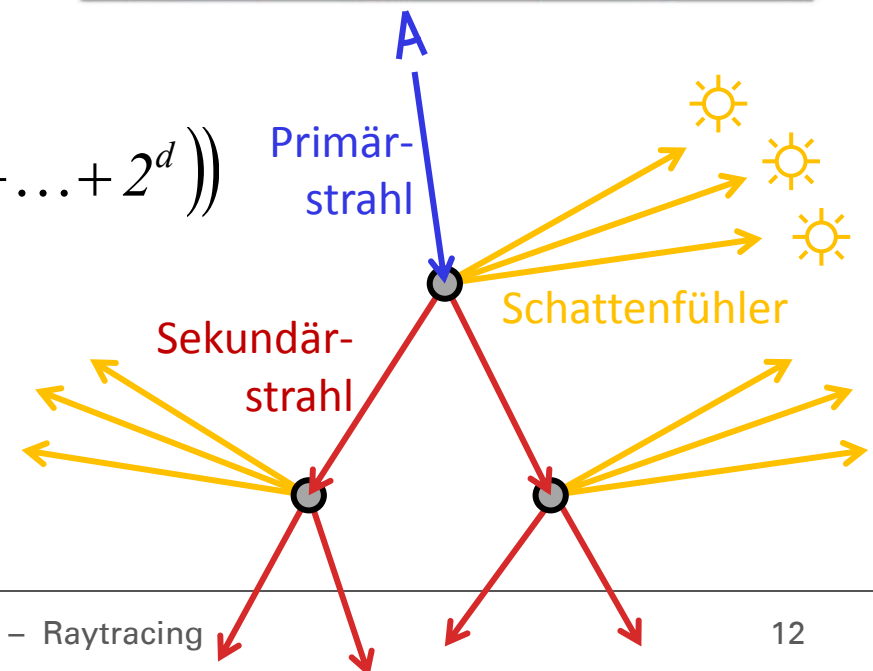
◆ worst case

- ◆ Anzahl Strahlen:

$$\begin{aligned}\#_{\text{rays}} &= O\left(w \cdot h \cdot s \cdot (1 + m) \cdot (1 + 2 + 4 + \dots + 2^d)\right) \\ &= O\left(w \cdot h \cdot s \cdot (1 + m) \cdot 2^{d+1}\right)\end{aligned}$$

- ◆ Anzahl Berechnungen:

$$\#_{\text{comp}} = O(n \cdot \#_{\text{rays}})$$



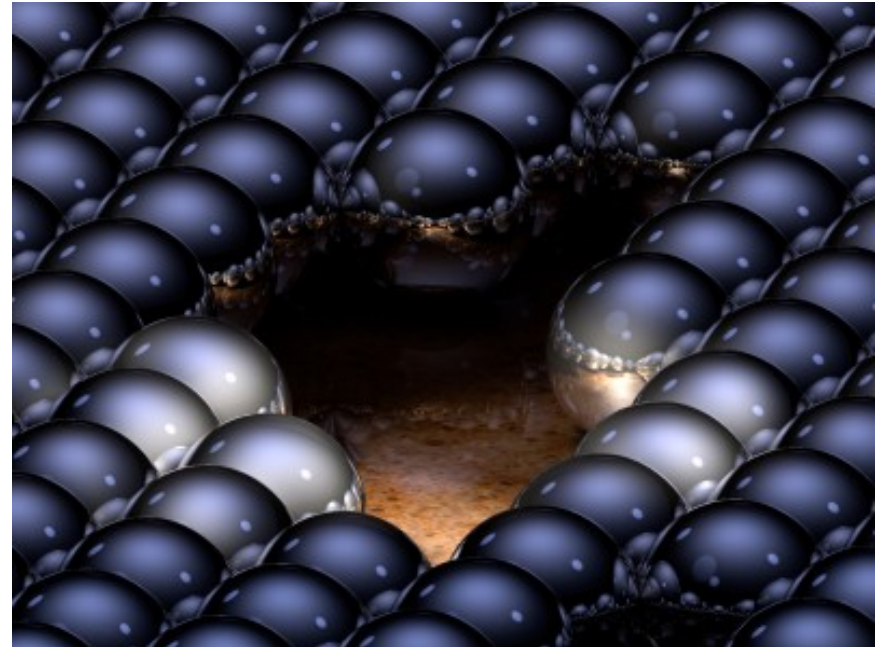
Strahlverfolgung

Komplexität – Reduktion



- Zur Reduktion der Komplexität beschränkt man typischerweise die maximale Rekursionstiefe
- Außerdem werden Beschleunigungsdatenstrukturen verwendet, um die Schnittberechnung zwischen einem Strahl und allen Objekten in der Szene zu Beschleunigen. Damit kann die Schnittberechnung Strahl-Szene auf $\log n$ reduziert werden
- Resultierende Laufzeit:

$$\#_{\text{comp}} = O(w \cdot h \cdot s \cdot m \cdot \log n)$$



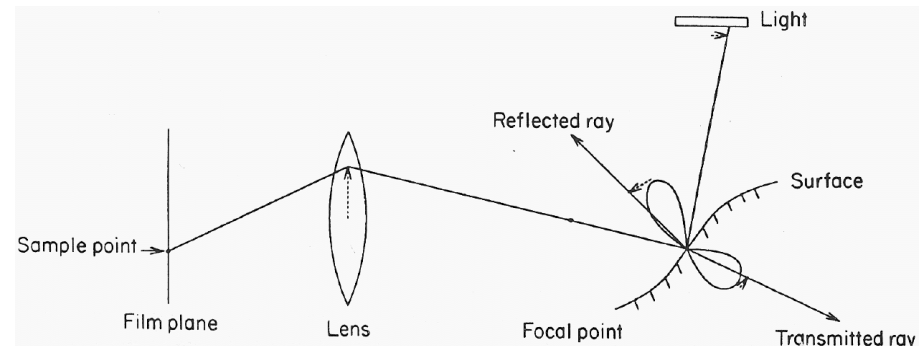
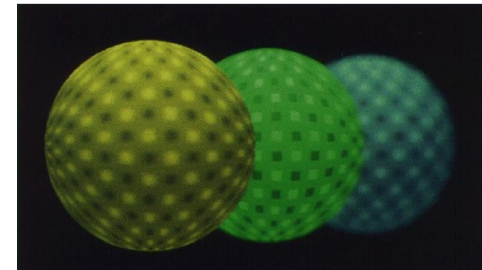
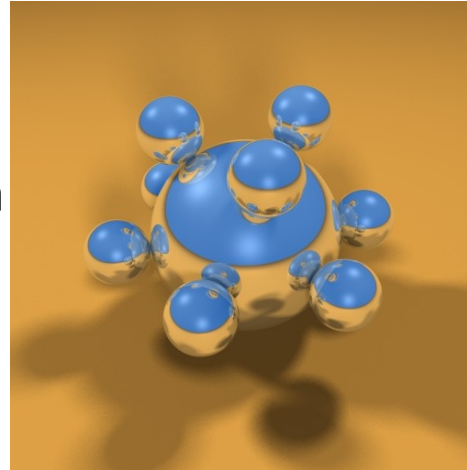
Rekursionstiefe auf 16 eingeschränkt

Strahlverfolgung

Distribution Raytracing



- Das Supersampling eines Pixels kann auch verwendet werden, um weiche Schatten, Motion Blur und Tiefenunschärfe zu modellieren
- Dazu wird für jedes Sample eines Pixels zufällig die jeweiligen Parameter ausgewählt:
 - weiche Schatten ... Position auf der Flächenlichtquelle
 - Motion Blur ... Zeit aus dem zu integrierenden Zeitintervall
 - Tiefenunschärfe ... Position auf der ausgedehnten Blendenöffnung
- Dieses Verfahren nennt man Distribution Raytracing

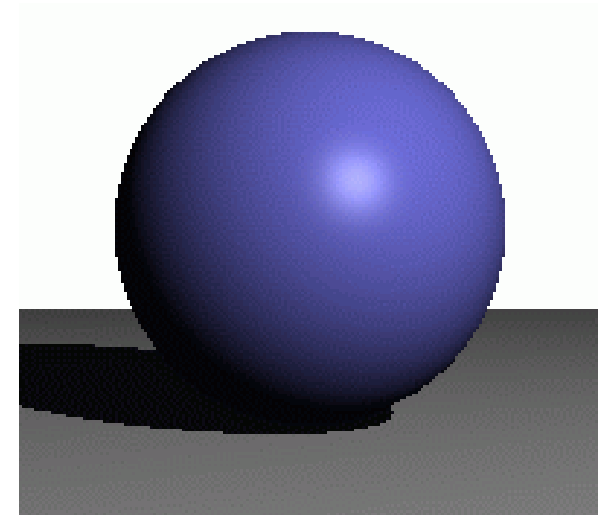
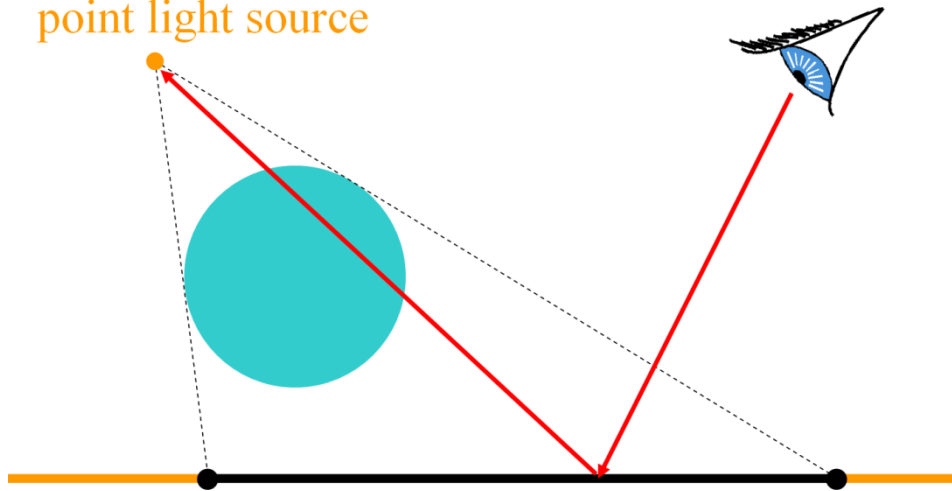


Distribution Raytracing

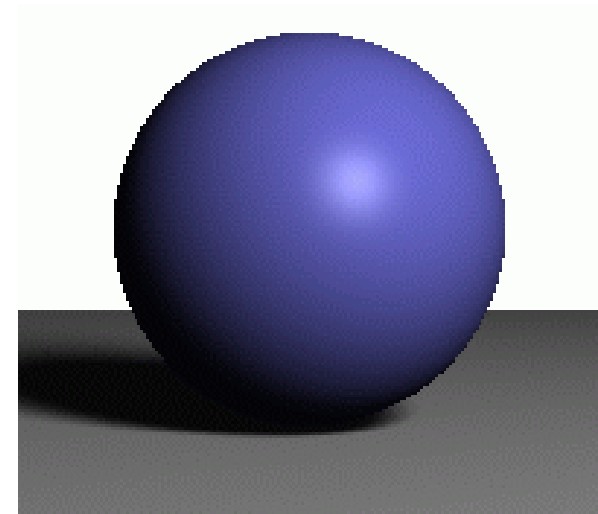
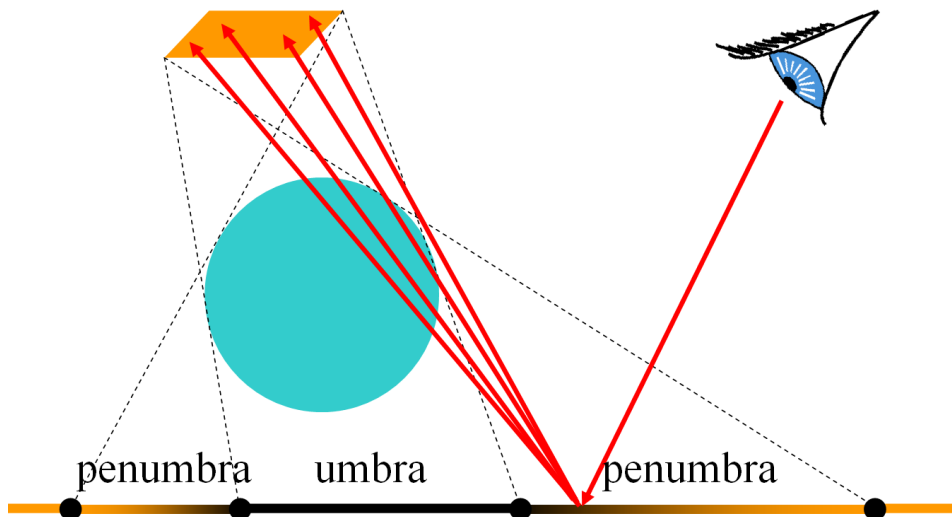
Weiche Schatten



point light source



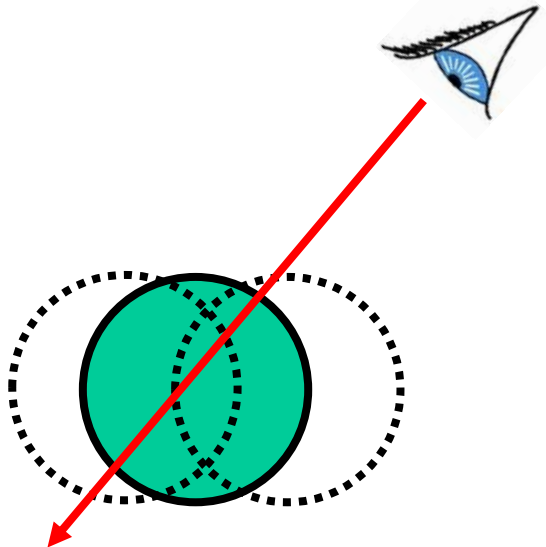
area light source



Distribution Raytracing

Motion Blur

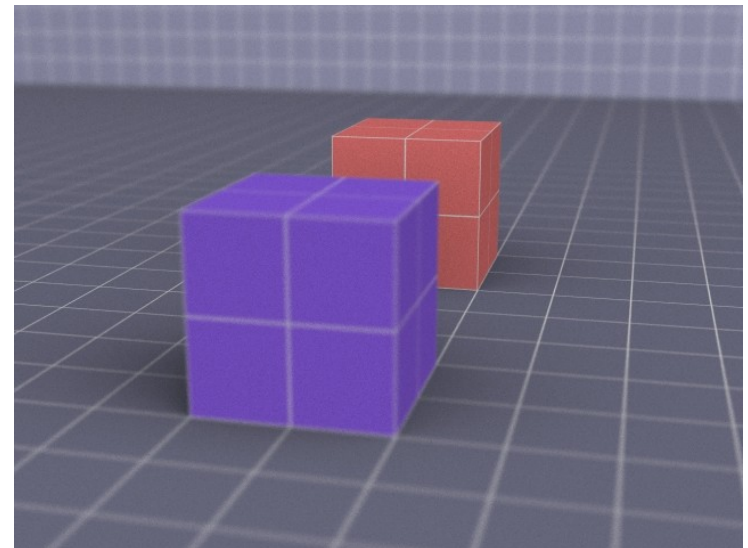
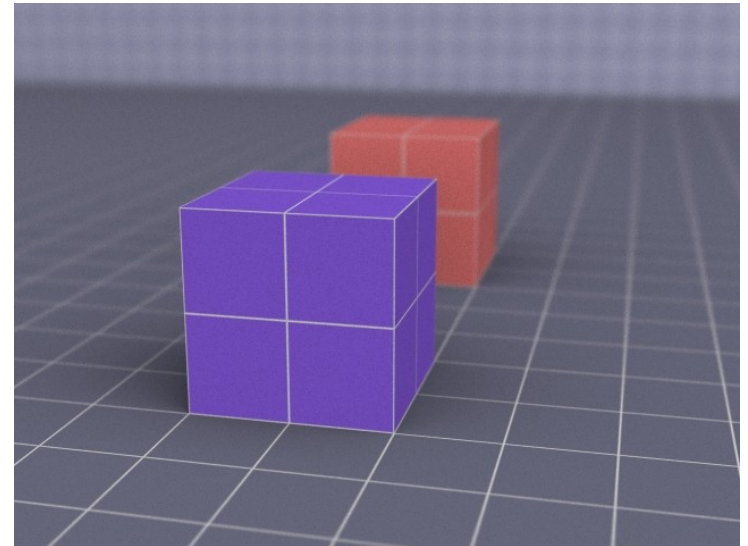
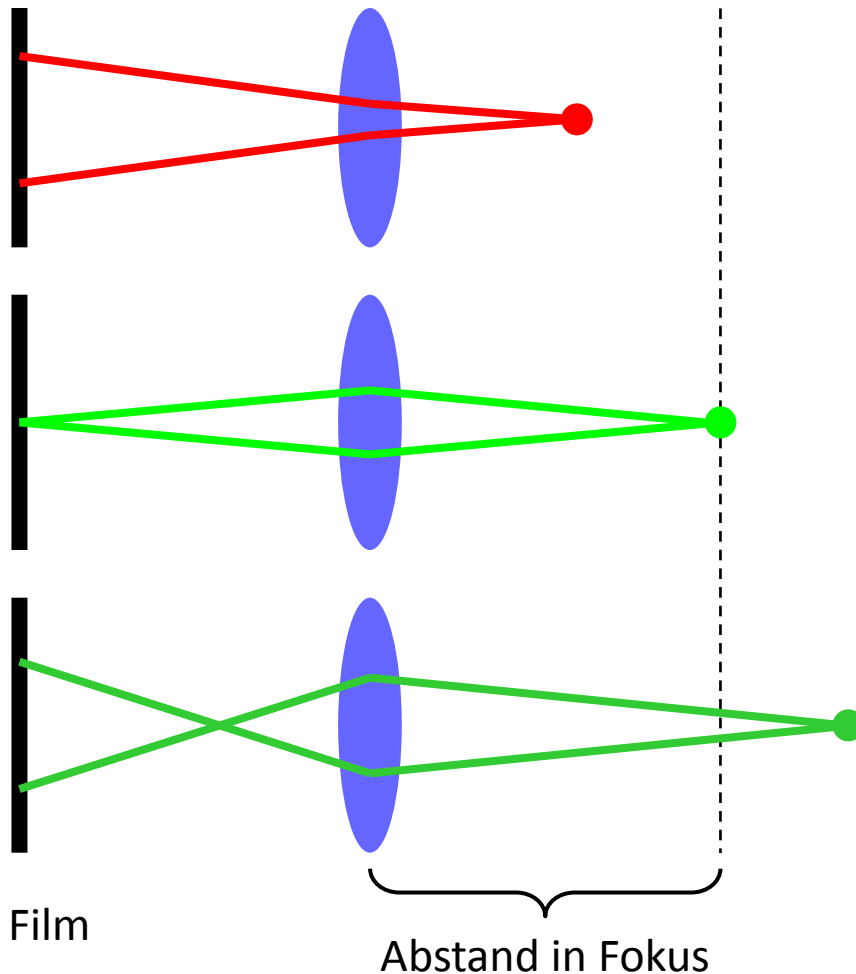
- Für jeden Strahl wird zufällig ein Zeitpunkt in dem darzustellenden Zeitintervall gewählt.
- Vorsicht: hier müssen auch die bewegten Objekte pro Strahl neu positioniert werden.



Rob Cook

Distribution Raytracing

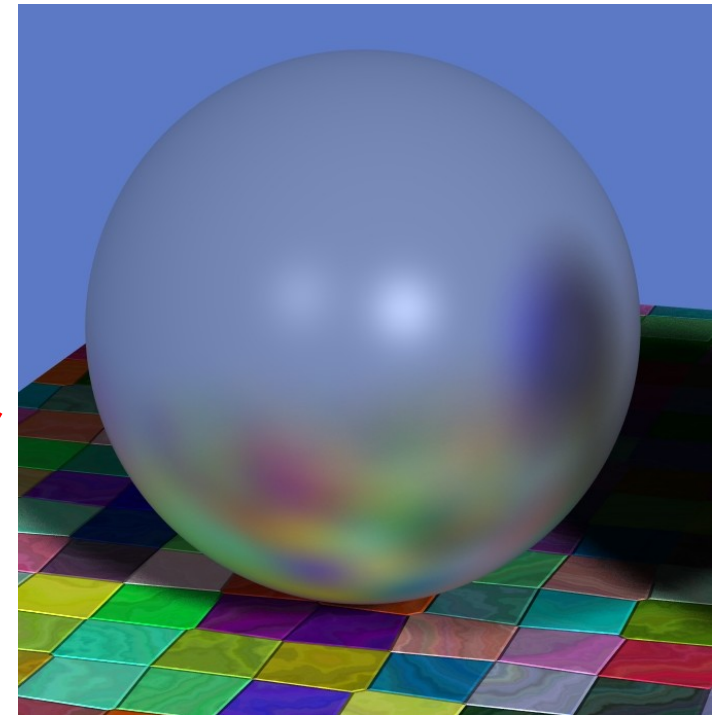
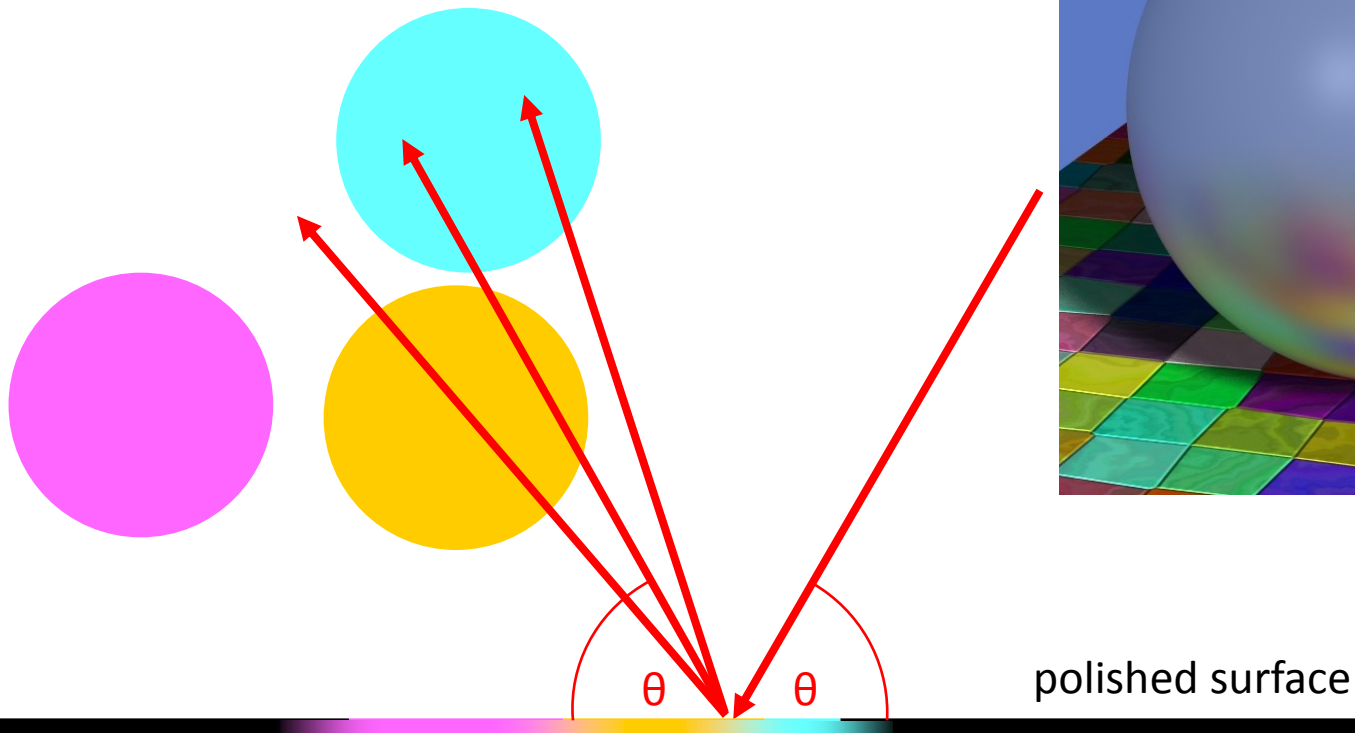
Tiefenunschärfe



© Justin Legakis

Distribution Raytracing

diffuse Spiegelung



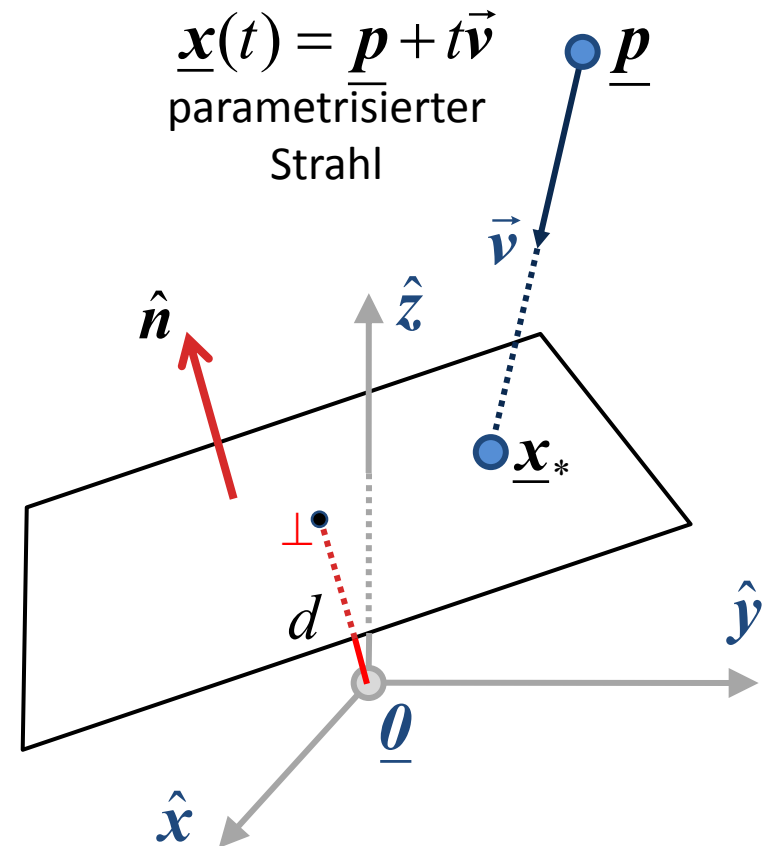
© Justin Legakis

- Bei vielen Strahl-Primitiv-Schnittberechnungen setzt man die parametrische Form des Strahls in eine implizite Darstellung des Primitives und berechnet den Strahlparameter:

$$\langle \hat{n}, \underline{p} + t_* \vec{v} \rangle = d \Rightarrow t_* = \frac{d - \langle \hat{n}, \underline{p} \rangle}{\langle \hat{n}, \vec{v} \rangle}$$

- Als Ergebnis erhält man keinen, einen oder mehrere Schnittparameter (bei Ebene maximal einen). Daraus sucht man den mit dem kleinsten positiven t_{fst}
- Gibt es ein t_{fst} , berechnet man den Schnittpunkt und die Normale des Primitives am Schnittpunkt. Im Falle der Ebene:

$$\underline{x}_{\text{fst}} = \underline{p} + t_{\text{fst}} \vec{v}, \quad \hat{n}_{\text{fst}} = \hat{n}$$



$$\langle \hat{n}, \underline{x} \rangle = d$$

Hesse'sche Normalform

Schnittberechnung Kugel

- Beim Schnitt von Strahl mit Kugel geht man genauso vor:

$$\|(\underline{p} + t_* \underline{\vec{v}}) - \underline{c}\|^2 = r^2 \Rightarrow$$

$$\|\underline{\vec{v}}\|^2 t_*^2 + 2\langle \underline{\vec{v}}, \underline{p} - \underline{c} \rangle t_* + \|\underline{p} - \underline{c}\|^2 - r^2 = 0$$

$$at_*^2 + bt_* + c = 0$$

- Numerisch kann dies mit folgender Fallunterscheidung stabiler gelöst werden:

$$t_1 = \frac{q}{a}, t_2 = \frac{c}{q}, \text{ mit}$$

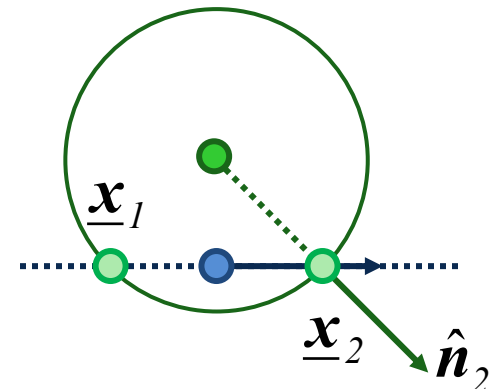
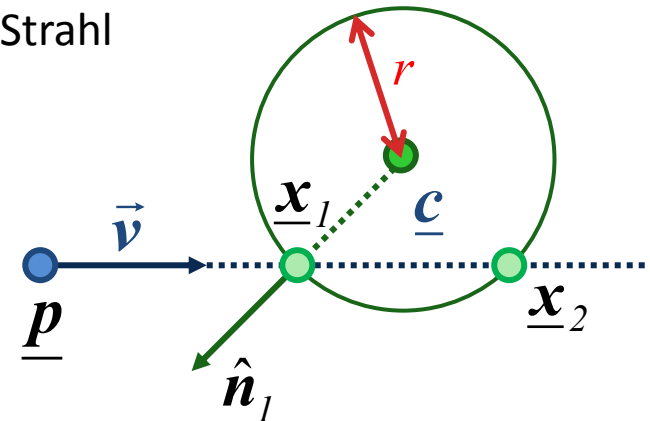
$$q = \begin{cases} -\frac{1}{2} \left(b - \sqrt{b^2 - 4ac} \right) & \dots b < 0 \\ -\frac{1}{2} \left(b + \sqrt{b^2 - 4ac} \right) & \dots \text{sonst} \end{cases}$$

- Nach Auswahl von t_{fst} ergibt sich die Normale zu

$$\hat{\underline{n}} = (\underline{x}_{\text{fst}} - \underline{c}) / \|(\underline{x}_{\text{fst}} - \underline{c})\|$$

$$\underline{x}(t) = \underline{p} + t \underline{\vec{v}}$$

parametrisierter Strahl



$$\|\underline{x} - \underline{c}\|^2 = r^2$$

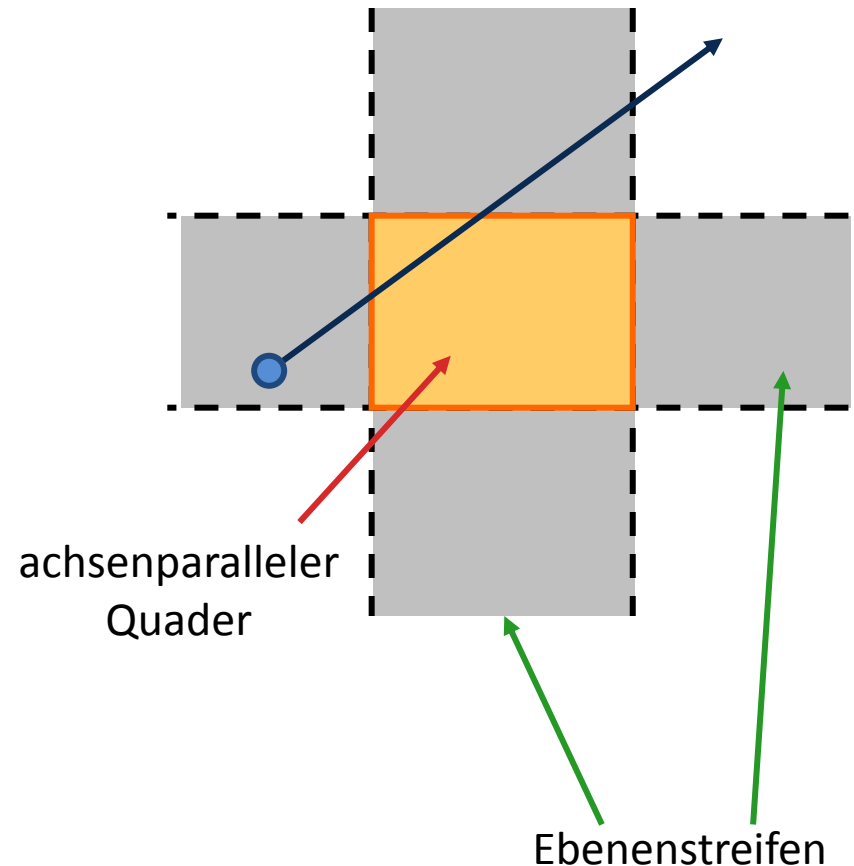
implizite Darstellung der Kugel

Schnittberechnung

Achsenparalleler Quader



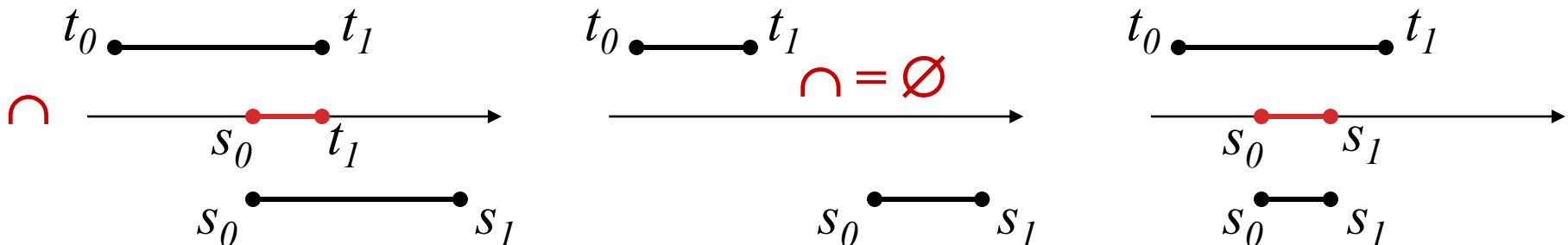
- ◆ Quader sind besonders wichtig für Hierarchien von Hüllvolumen.
- 💡 Idee: spalte Berechnung in Schnitt mit Ebenenstreifen und diese wiederum in Schnitt mit achsenparallelen Ebenen.
- ◆ Kombiniere Ergebnisse durch Mengendurchschnitt mittels Intervallarithmetik auf Intervallen des Strahlparameters t .



- ◆ Motivation: der Schnitt zwischen einem Strahl und einem beliebigen Objekt führt auf Intervalle im Parameter t .
- ◆ Parameterintervall: $T = [t_0, t_1]$ mit $t_0 \leq t_1$ oder $T = \emptyset$

- ◆ Schnittoperation:

$$[t_0, t_1] \cap [s_0, s_1] = \begin{cases} \emptyset, & \text{wenn } \max\{t_0, s_0\} > \min\{t_1, s_1\} \\ [\max\{t_0, s_0\}, \min\{t_1, s_1\}], & \text{sonst} \end{cases}$$

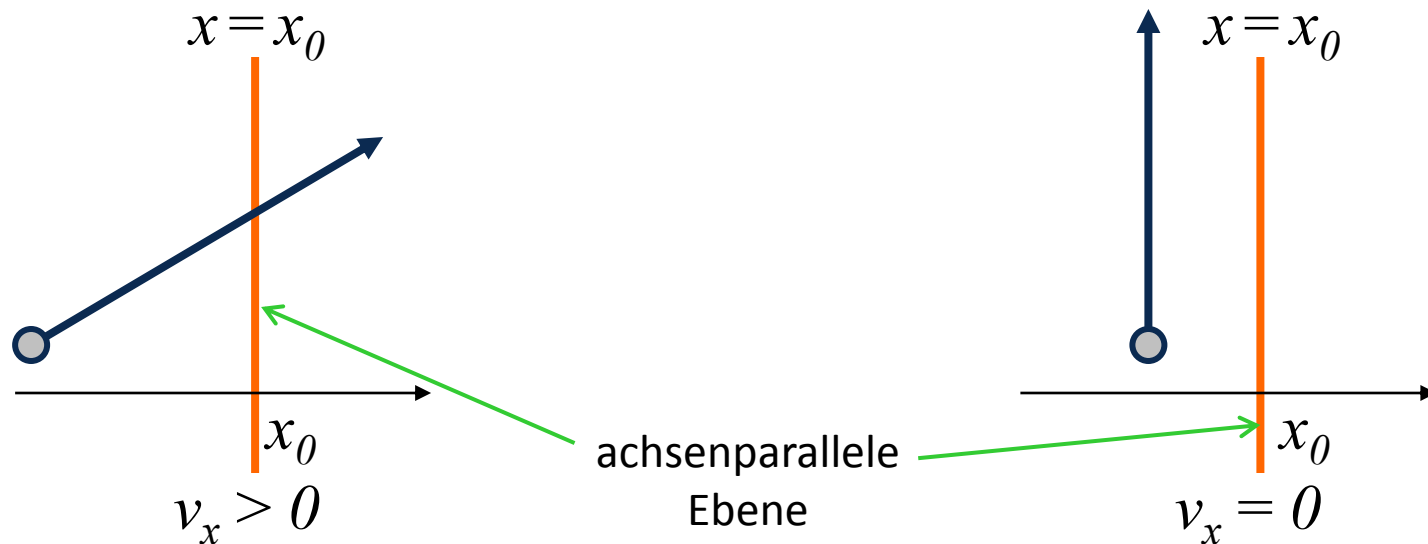


Schnittberechnung

Achsenparallele Ebene



- Das Schnittproblem lässt sich auf eine Dimension reduzieren: der Strahl beginnt bei $x(t=0) = p_x$ und die x-Komponente wächst mit der Geschwindigkeit $\partial x / \partial t = v_x$
- Aus $x_0 = p_x + t_* \cdot v_x$ ergibt sich der Schnittparameter t_* zu:
$$t_* = \begin{cases} \frac{x_0 - p_x}{v_x} : v_x \neq 0 \\ \text{undef} : v_x = 0 \end{cases}$$



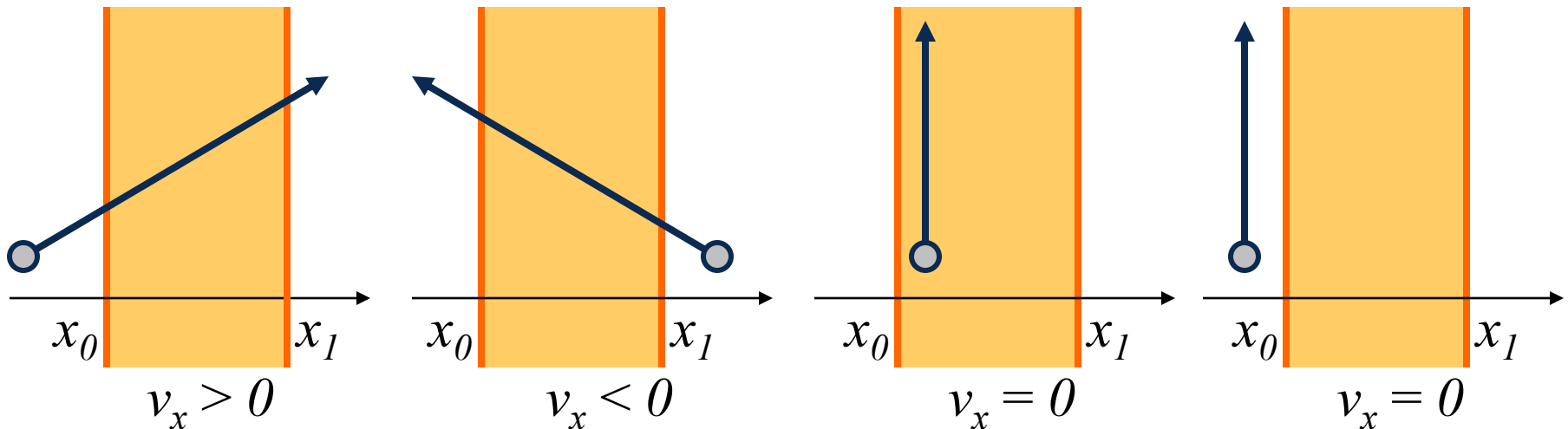
Schnittberechnung

Achsenparalleler Ebenenstreifen



- Intervall wird abhängig vom Vorzeichen von v_x berechnet
- Weitere Fallunterscheidung bei Parallelität

$$[t_0, t_1] = \begin{cases} \left[\frac{x_0 - p_x}{v_x}, \frac{x_1 - p_x}{v_x} \right] & : v_x > 0 \\ \left[\frac{x_1 - p_x}{v_x}, \frac{x_0 - p_x}{v_x} \right] & : v_x < 0 \\ [-\infty, +\infty] & : v_x = 0 \wedge p_x \in [x_0, x_1] \\ \emptyset & : \text{sonst} \end{cases}$$

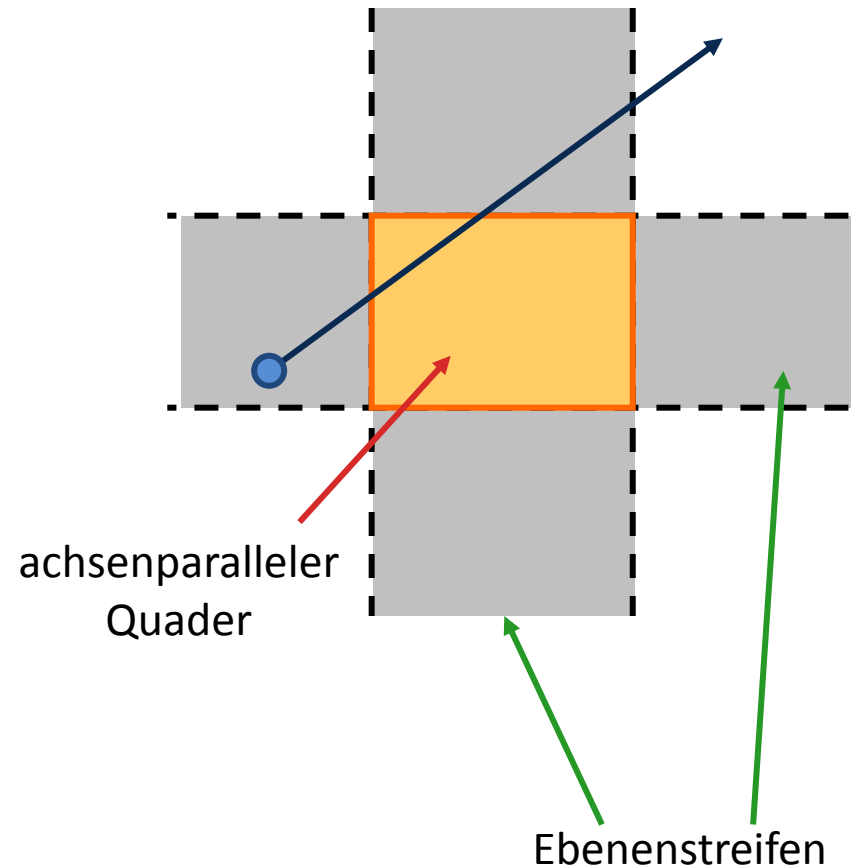


Schnittberechnung

Achsenparalleler Quader



- Gegeben: Quader, definiert durch zwei Punkte aus den minimalen und maximalen Koordinaten: $\underline{\mathbf{x}}_{\min}, \underline{\mathbf{x}}_{\max}$
- Berechne Schnittintervall $T_{x/y/z}$ mit den drei Ebenenstreifen gemäß voriger Folie.
- Schnittintervall T_Q mit Quader ergibt sich aus dem Schnitt über alle drei Intervalle:
$$T_Q = T_x \cap T_y \cap T_z$$
- prüfe abschließend ob es ein $0 < t_{\text{fst}} \in T_Q$ gibt.
- die Normale ergibt sich entlang einer Koordinatenachse



Schnittberechnung

Dreieck

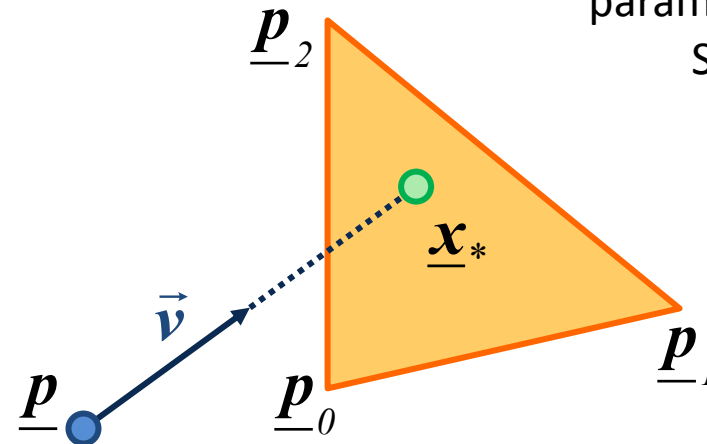
- Setzt man $\sigma_2 = 1 - \sigma_0 - \sigma_1$ kann man den Strahlparameter t_* sowie σ_{0*} und σ_{1*} durch Gleichsetzen der parametrischen Strahldarstellung und der baryzentrischen Dreiecksdarstellung berechnen und anschließend testen, ob alle $\sigma_i > 0$ sind. Abschließend wird geprüft, ob $t_* > 0$ und falls ja, $\underline{x}_{\text{fst}}$ und $\underline{n}_{\text{fst}}$ berechnet:

$$\hat{\underline{n}}_{\text{fst}} = \vec{n}(\underline{p}_0 \underline{p}_1 \underline{p}_2) / \|\vec{n}(\underline{p}_0 \underline{p}_1 \underline{p}_2)\|$$

mit der Definition

$$\vec{n}(\underline{p}_0 \underline{p}_1 \underline{p}_2) = (\underline{p}_1 - \underline{p}_0) \times (\underline{p}_2 - \underline{p}_0)$$

$\underline{x}(t) = \underline{p} + t\vec{v}$
parametrisierter
Strahl



$$\underline{x} = \sigma_0 \underline{p}_0 + \sigma_1 \underline{p}_1 + \sigma_2 \underline{p}_2, \forall i : \sigma_i \geq 0$$

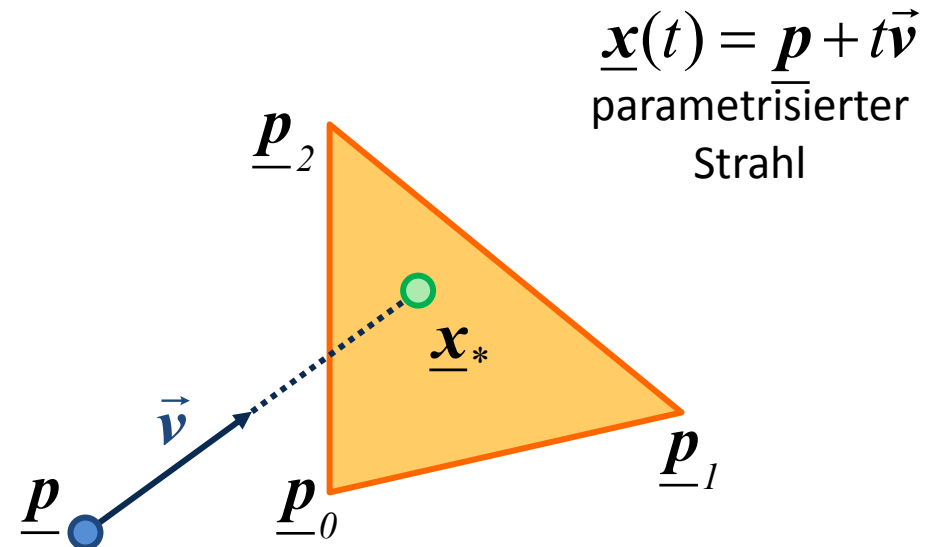
Dreieck in baryzentrischer Darstellung

Schnittberechnung

Dreieck II

- Man kann optional auch den Schnittparameter t_* wie beim Schnitt mit einer Ebene bestimmen und die σ_{0*} direkt aus \underline{x}_* und den \underline{p}_i berechnen:

$$t_* = \frac{\langle \vec{n}(\underline{p}_0 \underline{p}_1 \underline{p}_2), \underline{p}_0 - \underline{p} \rangle}{\langle \vec{n}(\underline{p}_0 \underline{p}_1 \underline{p}_2), \vec{v} \rangle}$$



$$\sigma_0 = f \cdot \vec{n}(\underline{p}_0 \underline{p}_1 \underline{p}_2) \cdot \vec{n}(\underline{x}_* \underline{p}_1 \underline{p}_2)$$

$$\underline{x} = \sigma_0 \underline{p}_0 + \sigma_1 \underline{p}_1 + \sigma_2 \underline{p}_2, \forall i : \sigma_i \geq 0$$

Dreieck in baryzentrischer Darstellung

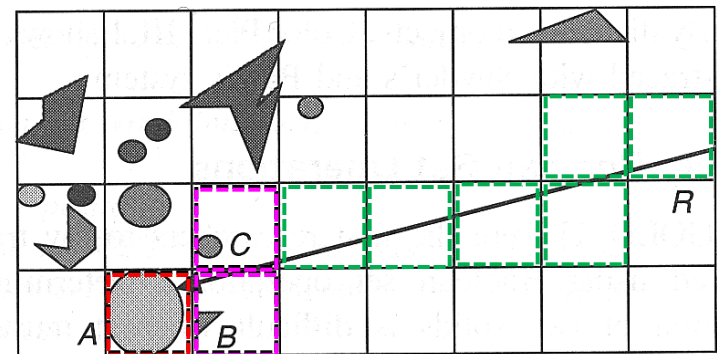
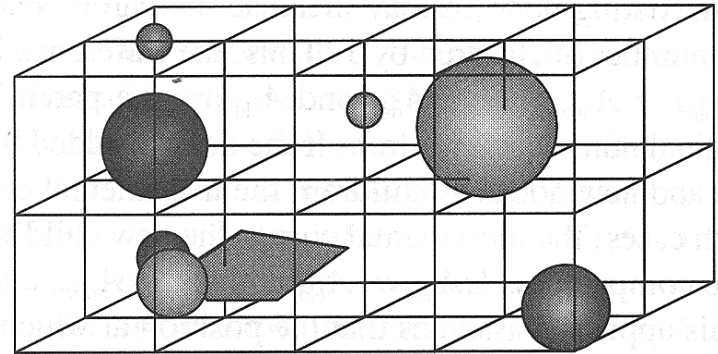
$$\sigma_1 = f \cdot \vec{n}(\underline{p}_0 \underline{p}_1 \underline{p}_2) \cdot \vec{n}(\underline{p}_0 \underline{x}_* \underline{p}_2)$$

$$\sigma_2 = f \cdot \vec{n}(\underline{p}_0 \underline{p}_1 \underline{p}_2) \cdot \vec{n}(\underline{p}_0 \underline{p}_1 \underline{x}_*)$$

mit $f = \frac{1}{\|\vec{n}(\underline{p}_0 \underline{p}_1 \underline{p}_2)\|^2}$

- Beim Vergleich $\sigma_i \geq 0$ kann f auch ignoriert werden

- ◆ Unterteile Bounding Box in regelmäßiges Voxel
- ◆ Auflösung: oft $\sqrt[3]{n}$
- ◆ Objekte einfügen
 - ◆ füge in alle Voxel ein, die das Objekt überlappen
 - ◆ leicht optimierbar
- ◆ Traversierung
 - ◆ verfolge Voxel entlang des Strahls
 - ◆ schneide jeweils mit enthaltenen Objekten
 - ◆ terminiere wenn erster Schnitt gefunden wurde



Gitter Strahlverfolgung



- verfolge Zeitpunkte der Voxelübergänge für jede Achse getrennt

- berechne Startzelle,

$$i = \text{floor}\left(\frac{p_x - x_{\min}}{\Delta x}\right), \Delta x = \frac{x_{\max} - x_{\min}}{n}$$

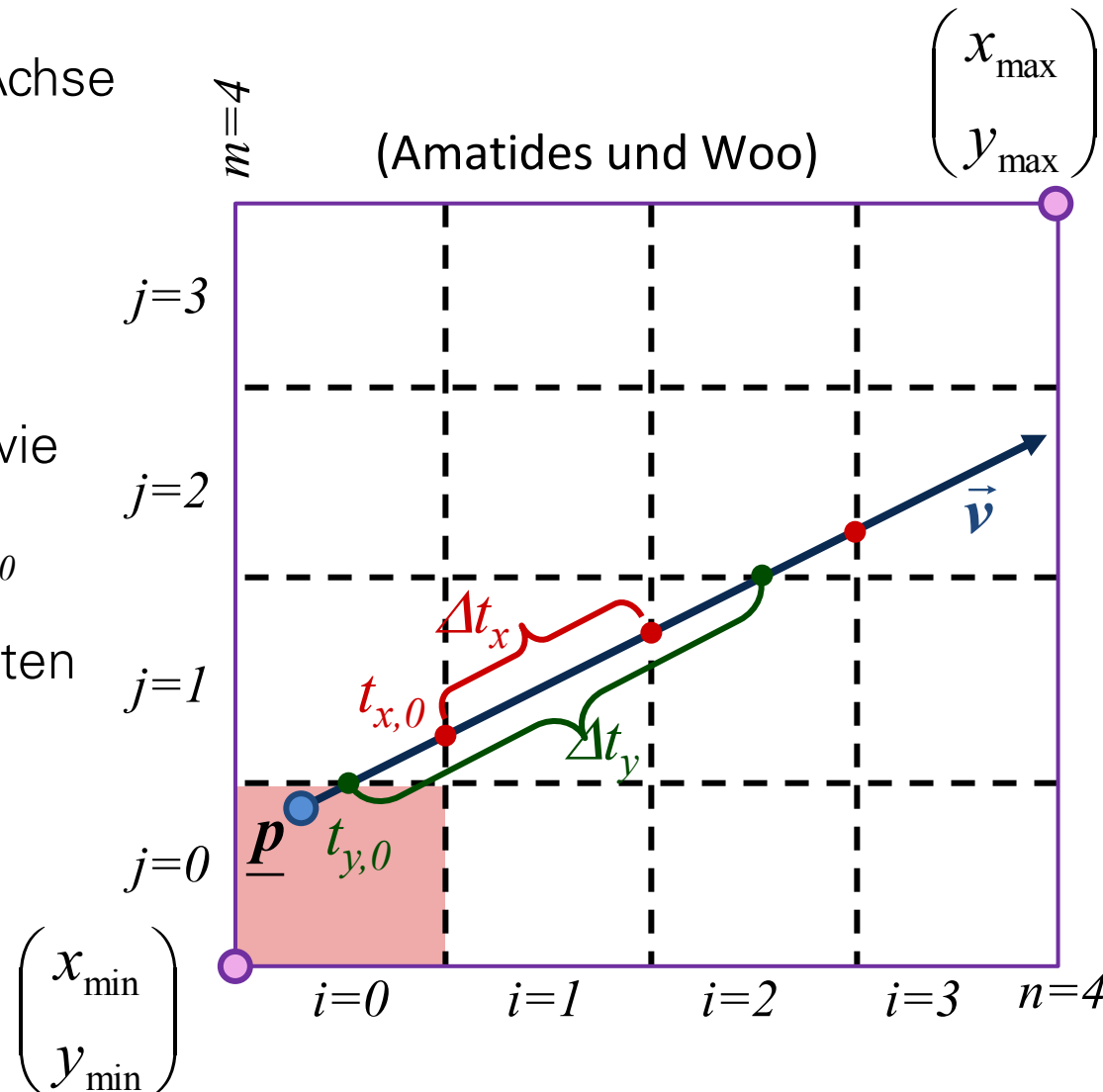
- erste Schnittzeiten $t_{\alpha,0}$ sowie

$$x_{\min} + (i+1)\Delta x - p_x = v_x t_{x,0}$$

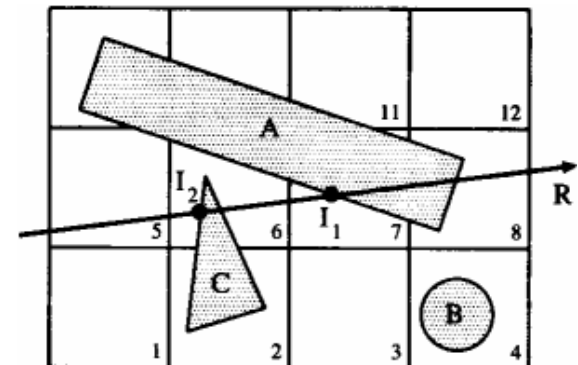
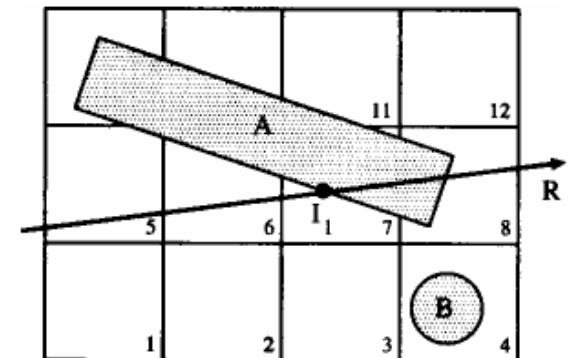
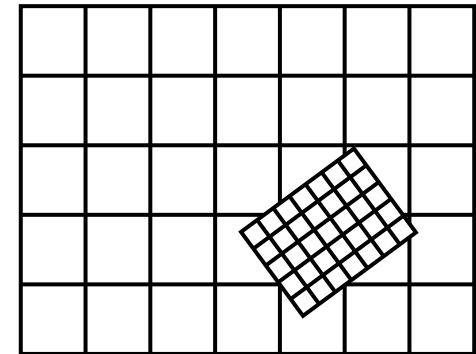
- Zeitschritte Δt_α zum nächsten Wechsel für alle $\alpha \in \{x, y, z\}$

$$\Delta x = v_x \Delta t_x$$

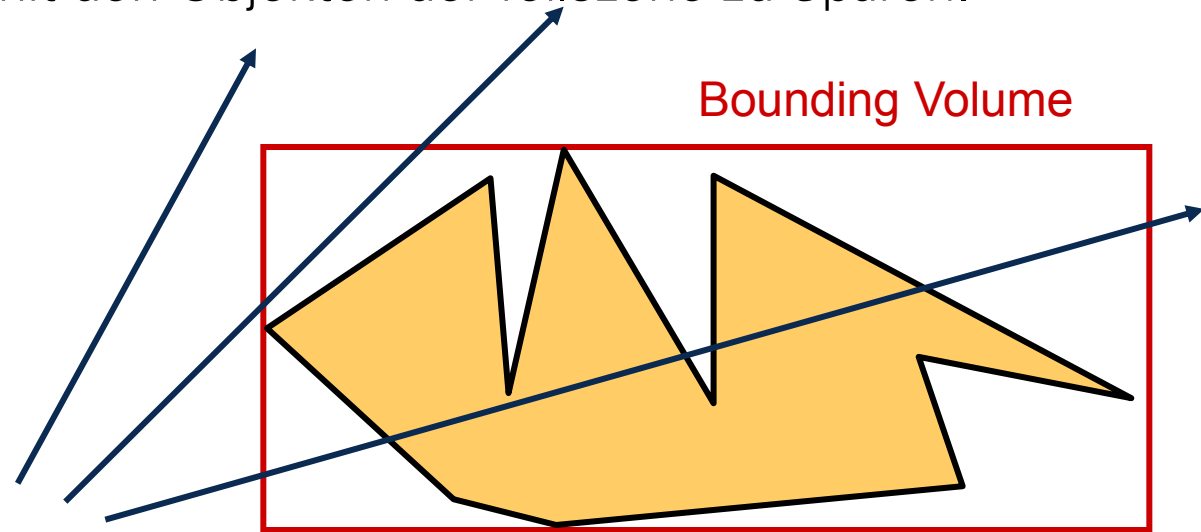
- verfolge Strahl entlang t und führe nächsten Wechsel durch



- ◆ Gitterauflösung
 - ◆ hängt stark von Szene ab
 - ◆ keine Adaption an einen Fußball in einem Fußballstadium
 - ◆ mögliche Abhilfe: geschachtelte Gitter
- ◆ **Mailbox Technik**
 - ◆ Einsatz: wenn Objekte von mehreren umgebenden Volumen referenziert werden können, wie z.B. beim Gitter
 - ◆ Gebe jedem Strahl eine eindeutige ID und jedem Objekt eine Mailbox für letzte Schnittberechnung (ID, Schnittinfo)
 - ◆ Prüfe vor Schnittberechnung Mailbox des Objektes und speichere nach evtl. Neuberechnung Ergebnis in Mailbox



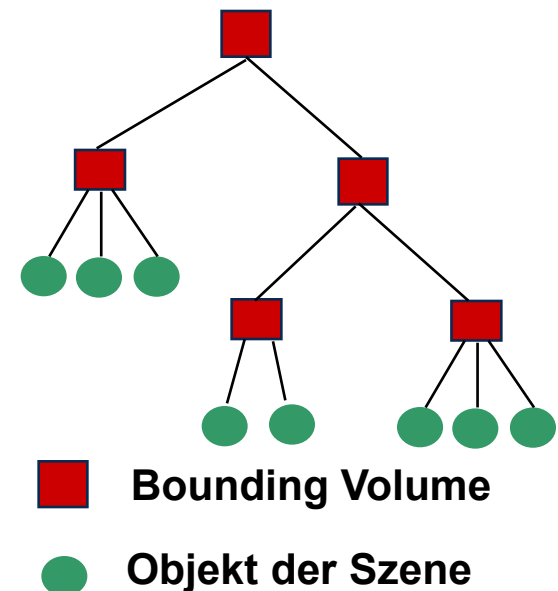
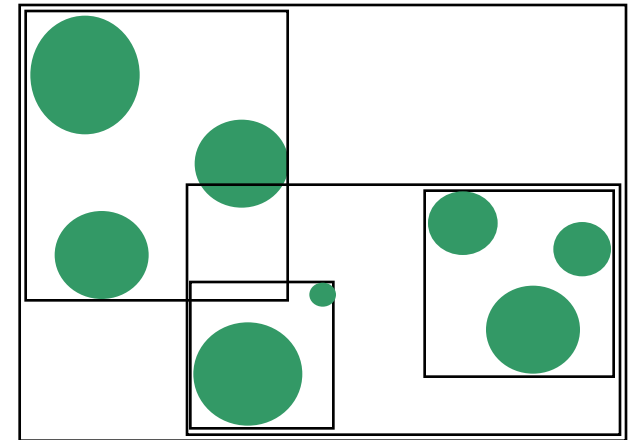
- ◆ Grundidee: Das Ziel besteht darin, Kosten bei den Schnittpunkttests eines Strahls mit den Objekten der Teilszene zu sparen.



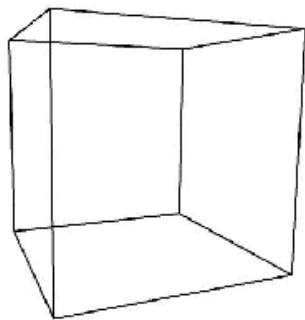
- ◆ Verfehlt der Strahl das Hüllvolume, so kann man auf den Schnitt mit der Teilszene verzichten
- ◆ Oft bietet es sich an, aus der Szene alle geometrischen Primitive (z.B. alles in Dreiecke zerlegen) in einem globalen Koordinatensystem zu extrahieren und darauf die Beschleunigungstechniken anzuwenden

Hüllvolumen Hierarchie

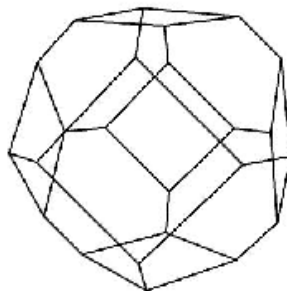
- Idee: UmschlieÙe die Objekte in einer Hierarchie von sich zum Teil überlappenden Hüllvolumen (BVH)
- Teilbäume: Objekte nahe in der Szene beieinander
- minimiere Oberflächeninhalte der Hüllvolumen
- Fokus auf obere Knoten, weil hier das Abschneiden eines Teilbaumes mehr spart
- Berechnungszeit für Bild durch Raytracing sehr viel geringer trotz zusätzlicher Vorverarbeitung



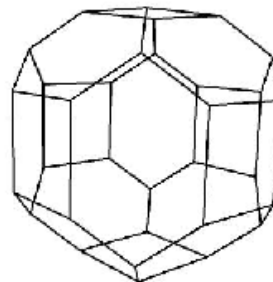
- ◆ Hüllvolumen werden so konstruiert, dass Teilobjekte komplett umschlossen werden \Rightarrow keine Mailbox-Techniken nötig
- ◆ Man muss abwägen zwischen
 - ◆ einfache Hüllvolumen (z.B. Kugel, Ellipsoid, Quader) mit kleinen Schnittkosten haben relativ hohe Strahltrefferzahlen
 - ◆ enganliegende Hüllvolumen (z.B. konvexe Hülle) mit kleiner Strahltrefferzahl haben hohe Schnittkosten.
- ◆ Einen guten Kompromiss ergeben k-Dops:



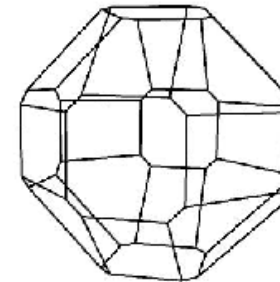
6-DOP



14-DOP



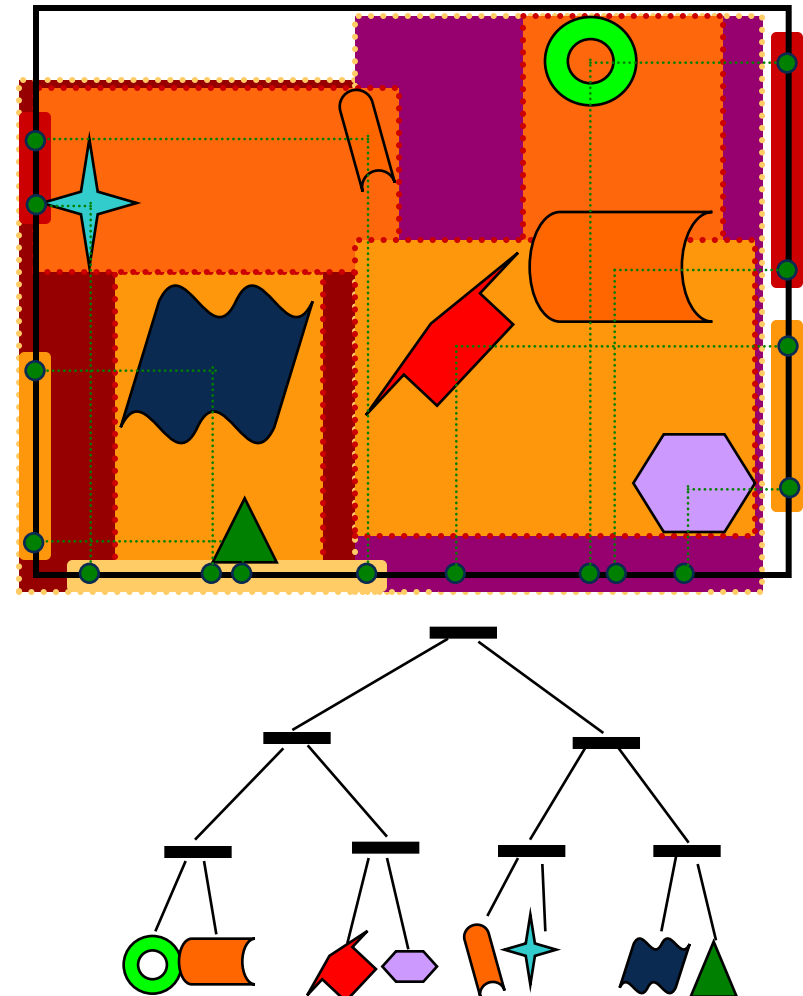
18-DOP



26-DOP

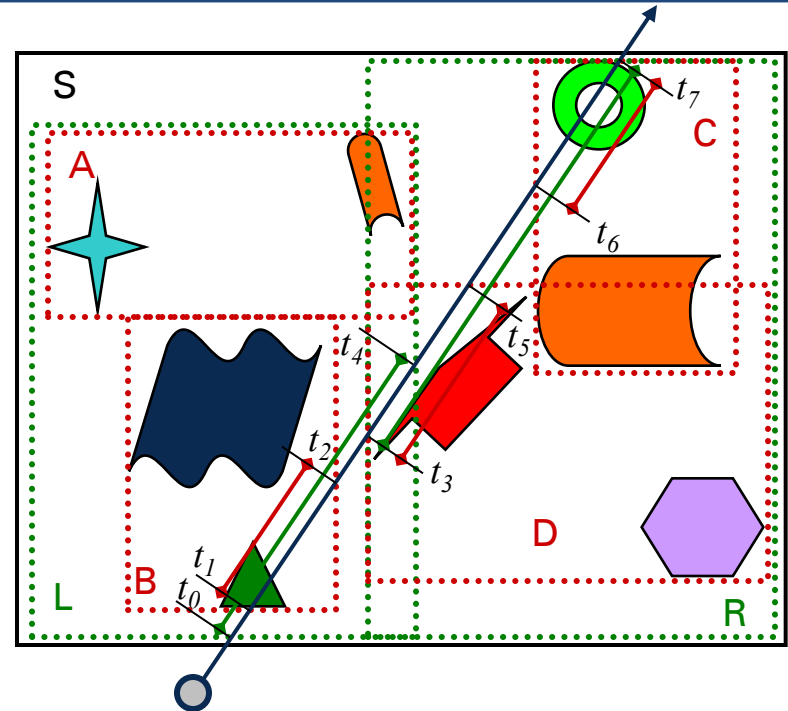
Aufbau (top-down):

- Umschließe alle Objekte mit axis aligned bounding box (AABB) der Szene
- Spalte Box entlang erster Koordinatenrichtung und verteile Objekte gleichmäßig
- berechne Kindboxen so, dass sie die enthaltenen Objekte ganz umschließen
- dadurch können sich die Kindboxen gegenseitig überlagern
- Rekursion mit nächster Koordinatenrichtung bis die Anzahl der Objekte in den Kindboxen klein genug



Traversierung nach Kay et al.:

- initialisiere Heap von zu testenden AABBs mit Wurzel und setze gesuchten Schnittparameter auf $t_{fst} = \infty$
- sortiere Heap nach Schnittparameter t_{in} so, dass zuerst die AABB geprüft wird, die als erstes getroffen wird
- AABB ohne Schnitt werden ignoriert
- Test der nächstgelegenen AABB
 - wenn $\min t_{in} > t_{fst}$ ist kein weiterer Test nötig
 - bei Blattknoten werden Schnitte mit enthaltenen Objekte berechnet und evtl. t_{fst} erneuert
 - sonst beide Kind-BVs in Heap eingetragen

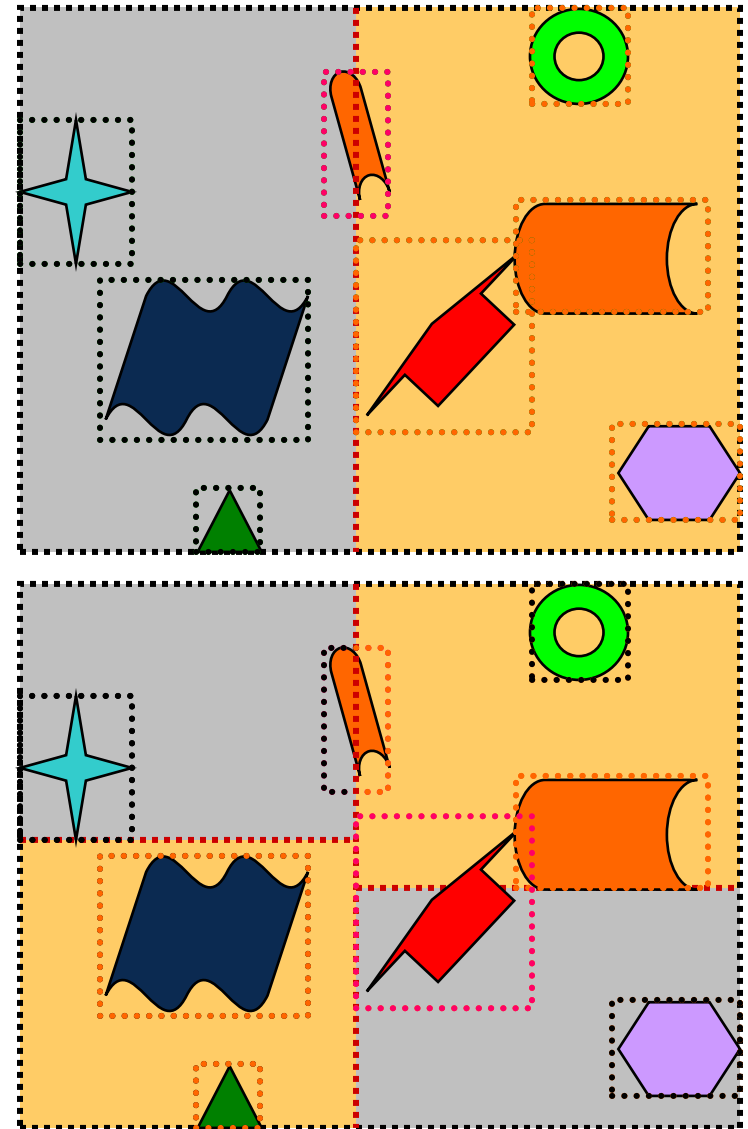


Beispieltraversierung

- push(S, t_0, t_7), $t_{fst} = \infty$
- pop S, $t_0 \leq t_{fst}$, push(L, t_0, t_4), push(R, t_3, t_7)
- pop L, $t_0 \leq t_{fst}$, A is skipped, push(B, t_1, t_2)
- pop B, $t_1 \leq t_{fst}$, intersect objects, $t_{fst} := t_1$
- pop R, $t_3 > t_{fst}$, skip
- terminate

Aufbau

- Berechne für jedes Primitiv eine AABB und daraus die AABB der Szene
- Splitte AABB der Szene rekursiv an einer achsenparallelen Ebene in Binärbaum
- Optimierungspotential pro Split:
 - eine von drei Hauptachse
 - Position der Splittebene (man kann zeigen, dass es sich hier um eine Grenzen der enthaltenen AABBs handeln muss)
- Optimierte nach minimalen Kosten für den Schnitt mit einem zufällig gewählten Strahl

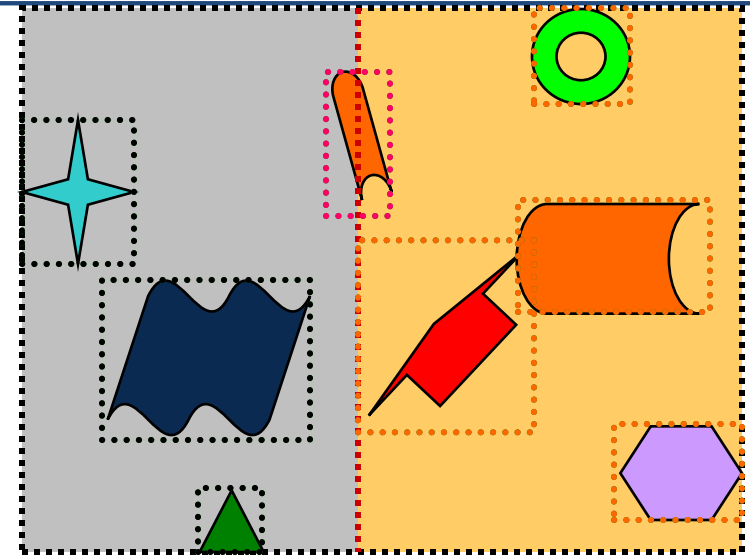


KD-Baum

Kostenfunktion

- Pro Knoten zu entscheiden:
wird gesplittet oder nicht, und
wenn ja, dann in welcher
Richtung und wo.
- Berechnungsmodell pro Knoten:
 - N Primitive mit Schnittkosten t_i
 - Kosten für Traversierung eines
inneren Knotens: t_t
 - Wahrscheinlichkeit, dass ein
zufälliger Strahl das Kind A, B
schneidet, unter der
Bedingung, dass der
Elternknoten geschnitten
wurde: p_A, p_B

- Kosten ohne Split:
$$T_{leaf} = \sum_{i=1}^N t_i$$



- Für alle 3 Hauptachsen werden
die Knoten nach der minimalen
Position sortiert.
- Gehen N_A Primitive in Kind A
und überlappen N_O Primitive, so
sind die Kosten bei einem Split:

$$T_{split} = t_t + p_A \sum_{i=1}^{N_A} t_i + p_B \sum_{i=N_A-N_O+1}^N t_i$$

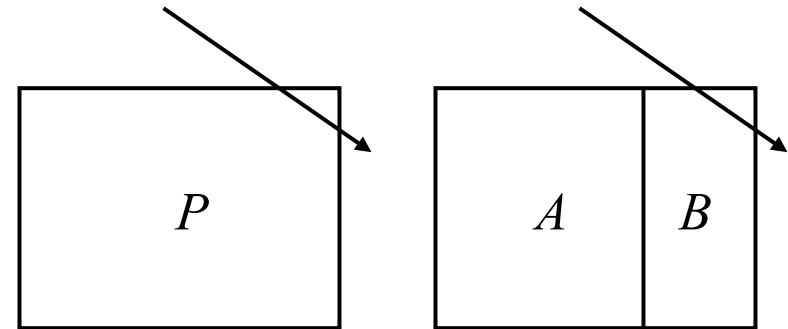
KD-Baum

Optimierung mit SAH



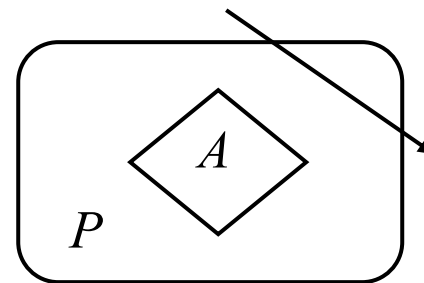
- Optimiert wird mit Hilfe einer vollständigen Suche über alle Hauptachsen und alle Grenzpositionen der AABBs der Primitive.
- Die noch fehlenden Wahrscheinlichkeiten p_A und p_B ergeben sich aus dem Quotient der Oberflächenverhältnisse von Kind durch Elternknoten (**S**urface **A**rea **H**euristic), wegen:
- Satz:** Gegeben sei ein konvexes Volumen P mit Oberfläche s_P und ein darin enthaltenes konvexes Volumen A mit s_A . Ein zufällig gewählter Strahl, der P schneidet, schneidet A mit der bedingten Wahrscheinlichkeit

$$p(A | P) = \frac{s_A}{s_P}$$



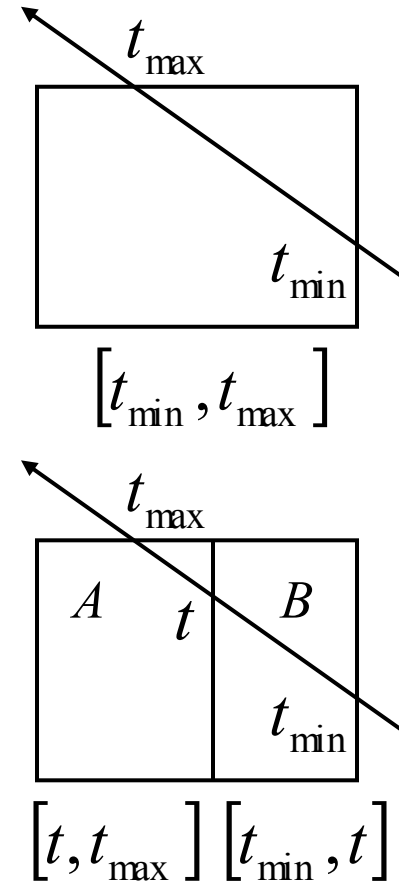
$$p_A = \frac{s_A}{s_P}$$

$$p_B = \frac{s_B}{s_P}$$





- Bei der Traversierung müssen die Blattknoten nach aufsteigend sortiertem Strahlparameter geprüft werden, bis der erste Schnitt gefunden ist.
- Anfangs wird das Schnittintervall mit der Szenen-AABB berechnet und auf Abbruch geprüft.
- In den Blättern werden Tests mit den Primitiven durchgeführt und die Mailboxtechnik angewandt
- In inneren Knoten wird der Schnittparameter der Trennfläche berechnet und mit linkem und rechten Teilintervall rekursiv die Kinder traversiert.



- Das zum linken Intervall gehörige Kind, ist dasjenige auf der selben Seite der Splittebene wie der Strahlstartpunkt